

COMMITTENTE:



PROGETTAZIONE:



DIRETTRICE FERROVIARIA MESSINA - CATANIA - PALERMO

NUOVO COLLEGAMENTO PALERMO - CATANIA

U.O. OPERE CIVILI E GESTIONE DELLE VARIANTI

PROGETTO DEFINITIVO

TRATTA DITTAINO – CATENANUOVA (LOTTO 5)

OPERE PRINCIPALI – PONTI E VIADOTTI

VI06 - Viadotto ferroviario a Singolo Binario

Relazione di calcolo Pile

SCALA:

-

COMMESSA LOTTO FASE ENTE TIPO DOC. OPERA/DISCIPLINA PROGR. REV.

RS3E 50 D 09 CL VI0605 001 A

Rev.	Descrizione	Redatto	Data	Verificato	Data	Approvato	Data	Autore	Rev. Data
A	EMISSIONE ESECUTIVA	Abbasiano	Novembre 2019	A. Ferri	Novembre 2019	F. Sparacino	Novembre 2019	A. Vittozzi	Novembre 2019

ITALFERR S.p.A.
 U.O. Opere Civili e Gestione delle varianti
 Dott. Ing. Angelo Vittozzi
 Ordine degli Ingegneri della Provincia di Roma
 N° A20783

INDICE

1	PREMESSA	4
1.1	DESCRIZIONE DELL'OPERA	4
1.2	ASPETTI LEGATI ALLE OPERE DI FONDAZIONE	5
2	RIFERIMENTI NORMATIVI	7
3	MATERIALI	8
3.1	VERIFICA S.L.E.	9
3.1.1	<i>Verifiche alle tensioni</i>	9
3.1.2	<i>Verifiche a fessurazione</i>	9
4	ANALISI E VERIFICHE PILA	11
4.1	GENERALITÀ	11
4.2	MODELLI A MENSOLA PER LA VERIFICA DELLE PILE	11
4.3	CONDIZIONI ELEMENTARI E COMBINAZIONI DI CARICO	11
4.4	SISTEMI DI RIFERIMENTO ED UNITÀ DI MISURA	15
4.5	GEOMETRIA DELLA PILA	16
4.6	ANALISI DEI CARICHI	17
4.6.1	<i>Peso proprio elementi strutturali</i>	17
4.6.2	<i>Carichi trasmessi dall'impalcato</i>	17
4.6.3	<i>Azione del Vento</i>	20
4.6.4	<i>Carichi da traffico verticali</i>	22
4.6.5	<i>Effetti dinamici</i>	23
4.6.6	<i>Carichi da traffico orizzontali</i>	23
4.6.7	<i>Azione sismica</i>	25
4.6.8	<i>Calcolo delle sollecitazioni in testa pali</i>	29
4.6.9	<i>Riepilogo risultati</i>	29
4.7	SOLLECITAZIONI	31

4.7.1	<i>Plinto di fondazione</i>	32
4.8	PALI DI FONDAZIONE	33
4.9	VERIFICHE DEGLI ELEMENTI STRUTTURALI.....	34
4.9.1	<i>Pila</i>	37
4.9.2	<i>Zattera di fondazione</i>	43
4.9.3	<i>Palo di fondazione L=35.0m</i>	46

1 PREMESSA

La presente relazione ha per oggetto il dimensionamento e le verifiche di resistenza secondo il metodo semiprobabilistico agli Stati Limite (S.L.) di una delle Pile del viadotto ferroviario **VI06** della tratta ferroviaria Dittaino-Catenanuova, viadotto ferroviario previsto nell'ambito del progetto definitivo lungo la direttrice ferroviaria Messina-Catania-Palermo del nuovo collegamento Palermo-Catania. In particolare si tratterà la **Pila 09** che presenta **l'altezza maggiore per tipologia di pila ed impalcati afferenti**.

Verranno ipotizzati appoggi fissi sulla campata di luce maggiore, indipendentemente dal reale posizionamento degli stessi.

Le analisi strutturali e le verifiche di sicurezza sono state effettuate secondo il DM 14 gennaio 2008.

1.1 Descrizione dell'opera

Il viadotto ferroviario VI06 ha una lunghezza totale di circa 985 m, è costituito da 13 impalcati in c.a.p da 25m, 14 in sezione mista acciaio/cls di luce 40m ed 2 in sezione mista acciaio/cls di luce 50m. Il viadotto è previsto a singolo binario.

Pile e spalle sono realizzate in c.a. gettato in opera.

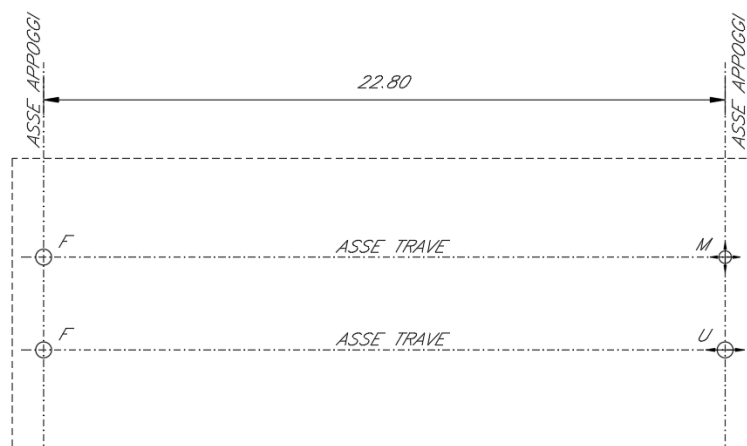


Figura 1: schema appoggi impalcati sx e dx

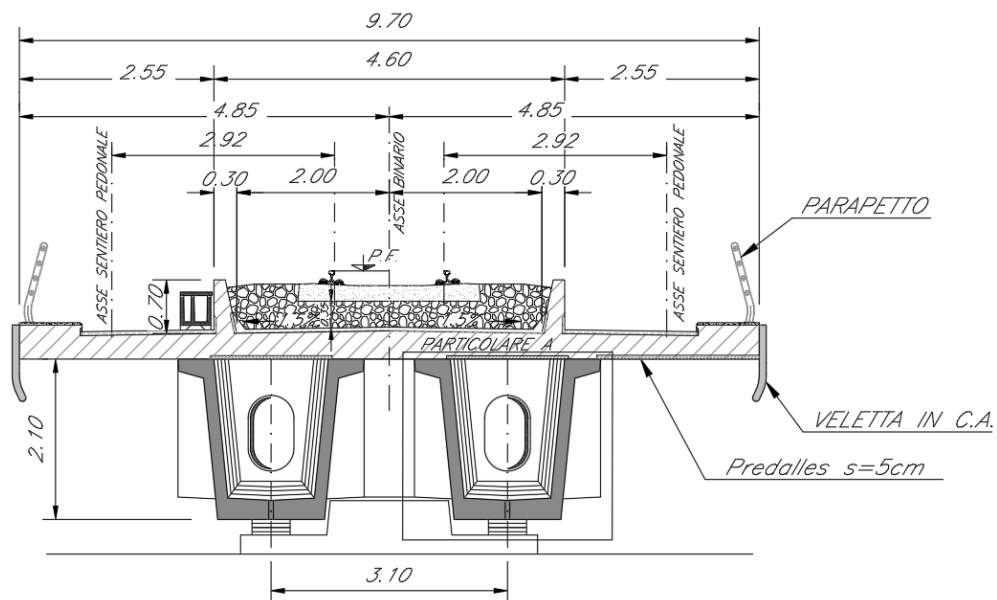
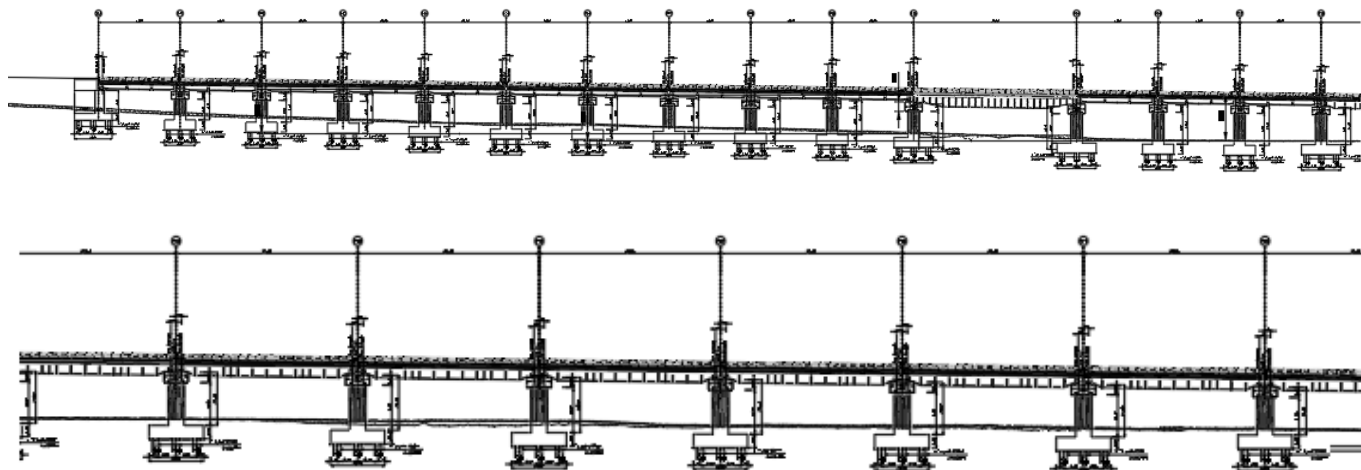


Figura 2: sezione trasversale impalcato sx edx

1.2 Aspetti legati alle opere di fondazione

Le fondazioni sono realizzate sia per le pile che per le spalle con plinti su pali di grande diametro.

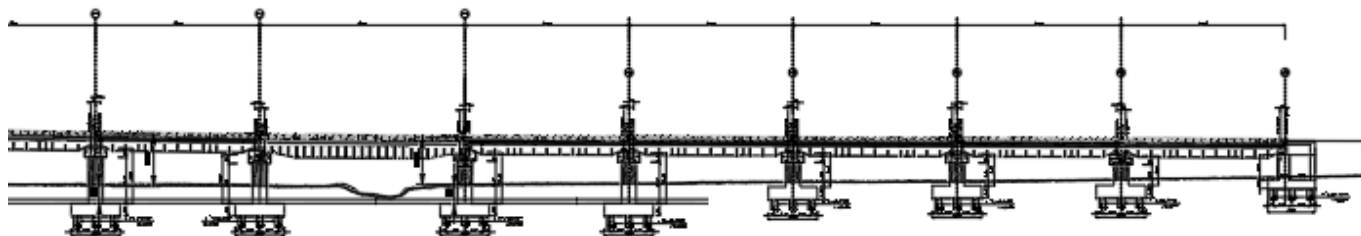




DIRETTRICE FERROVIARIA MESSINA - CATANIA - PALERMO
NUOVO COLLEGAMENTO PALERMO - CATANIA
PROGETTO DEFINITIVO
VI06 - Viadotto ferroviario a Singolo Binario

RELAZIONE DI CALCOLO PILA

COMMESSA	LOTTO	CODIFICA	DOCUMENTO	REV.	FOGLIO
RS3E	50	D 09 CL	VI 06 05 001	A	6 di 52



	DIRETTRICE FERROVIARIA MESSINA - CATANIA - PALERMO NUOVO COLLEGAMENTO PALERMO - CATANIA PROGETTO DEFINITIVO VI06 - Viadotto ferroviario a Singolo Binario					
	RELAZIONE DI CALCOLO PILA	COMMESSA RS3E	LOTTO 50	CODIFICA D 09 CL	DOCUMENTO VI 06 05 001	REV. A

2 RIFERIMENTI NORMATIVI

Le principali Normative nazionali ed internazionali vigenti alla data di redazione del presente documento e prese a riferimento sono le seguenti:

- Norme Tecniche per le Costruzioni, DM del 14/01/2008;
- Legge 05/01/1971 n°1086: Norme per la disciplina delle opere di conglomerato cementizio armato, normale e precompresso, ed a struttura metallica;
- Legge 02/02/1974 n°64: Provvedimenti per le costruzioni con particolari prescrizioni per le zone sismiche;
- C.M. 02/02/2009 n.617: Istruzioni per l'applicazione delle "Norme tecniche per le costruzioni";
- RFI DTC SI PS MA IFS 001 A del 30/12/2016: Manuale di progettazione delle opere civili – Parte II – Sezione 2 – Ponti e Strutture;
- RFI DTC SI PS SP IFS 001 A del 30/12/2016: Capitolato generale tecnico di appalto delle opere civili – Parte II – Sezione 6 – Opere in conglomerato cementizio e in acciaio;
- UNI EN 1991-1-4:2005: Eurocodice 1 – Azioni sulle strutture – Parte 1-4: Azioni in generale – Azioni del vento;
- UNI EN 1992-1-1:2005: Eurocodice 2 – Progettazione delle strutture di calcestruzzo – Parte 1-1: Regole generali e regole per gli edifici;
- UNI EN 1992-2:2006: Eurocodice 2 – Progettazione delle strutture di calcestruzzo – Parte 2: Ponti;
- UNI EN 1993-1-1:2005: Eurocodice 3 – Progettazione delle strutture di acciaio – Parte 1-1: Regole generali e regole per gli edifici;
- UNI EN 1993-2:2007: Eurocodice 3 – Progettazione delle strutture di acciaio – Parte 2: Ponti;
- UNI EN 1998-1:2005: Eurocodice 8 – Progettazione delle struttura per la resistenza sismica – Parte 1: Regole generali, azioni sismiche e regole per gli edifici;
- UNI EN 1998-2:2006: Eurocodice 8 – Progettazione delle struttura per la resistenza sismica – Parte 2: Ponti;
- o STI 2014 –Regolamento (UE) N. 1299/2014 della Commissione del 18 novembre 2014 relativo alle specifiche tecniche di interoperabilità per il sottosistema «infrastruttura» del sistema ferroviario dell'Unione europea, modificato dal Regolamento di esecuzione (UE) N° 2019/776 della Commissione del 16 maggio 2019;

3 MATERIALI

Le caratteristiche dei materiali previsti le sottostrutture sono le seguenti:

➤ Calcestruzzo magro e getto di livellamento

- CLASSE DI RESISTENZA MINIMA C12/15
- TIPO CEMENTO CEM I+V
- CLASSE DI ESPOSIZIONE AMBIENTALE : X0

➤ Calcestruzzo pali di fondazione, cordoli, opere provvisionali, calcestruzzo fondazioni

- CLASSE DI RESISTENZA MINIMA C25/30
- TIPO CEMENTO CEM III+V
- RAPPORTO A/C : ≤ 0.60
- CLASSE MINIMA DI CONSISTENZA : S4
- CLASSE DI ESPOSIZIONE AMBIENTALE : XC2
- COPRIFERRO MINIMO = 60 mm
- DIAMETRO MASSIMO INERTI : 32 mm

➤ Calcestruzzo fondazioni armate

- CLASSE DI RESISTENZA MINIMA C25/30
- TIPO CEMENTO CEM III+V
- RAPPORTO A/C : ≤ 0.60
- CLASSE MINIMA DI CONSISTENZA : S4
- CLASSE DI ESPOSIZIONE AMBIENTALE : XC2
- COPRIFERRO MINIMO = 40mm
- DIAMETRO INERTI : 25 mm

➤ Calcestruzzo elevazione pile (compresi pulvini, baggioli e ritegni), spalle

- CLASSE DI RESISTENZA MINIMA C32/40
- TIPO CEMENTO CEM III+V
- RAPPORTO A/C : ≤ 0.50
- CLASSE MINIMA DI CONSISTENZA : S4
- CLASSE DI ESPOSIZIONE AMBIENTALE : XC4
- COPRIFERRO MINIMO = 50mm
- DIAMETRO INERTI : 25 mm

➤ Acciaio ordinario per calcestruzzo armato

IN BARRE E RETI ELETTRISALDATE

B450C saldabile che presenta le seguenti caratteristiche :

- Tensione di snervamento caratteristica $f_{yk} > 450 \text{ N/mm}^2$
 - Tensione caratteristica a rottura $f_{tk} > 540 \text{ N/mm}^2$
- $1.15 \leq f_{tk}/f_{yk} < 1.35$

(*) : I VALORI DI COPRIFERRO RIPORTATI SI RIFERISCONO AD OPERE CON VITA NOMINALE DI 75 ANNI. PER COSTRUZIONI CON VITA NOMINALE DI 100 ANNI TALI VALORI DOVRANNO ESSERE AUMENTATI DI 5 mm.

3.1 Verifica S.L.E.

La verifica nei confronti degli Stati limite di esercizio, consiste nel controllare, con riferimento alle sollecitazioni di calcolo corrispondenti alle Combinazioni di Esercizio il tasso di Lavoro nei Materiali e l'ampiezza delle fessure attese, secondo quanto di seguito specificato

3.1.1 Verifiche alle tensioni

La verifica delle tensioni in esercizio consiste nel controllare il rispetto dei limiti tensionali previsti per il calcestruzzo e per l'acciaio per ciascuna delle combinazioni di carico caratteristiche "Rara" e "Quasi Permanente"; i valori tensionali nei materiali sono valutati secondo le note teorie di analisi delle sezioni in c.a. in campo elastico e con calcestruzzo "non reagente a trazione" adottando come limiti di riferimento, trattandosi nel caso in specie di opere Ferroviarie, quelli indicati nel documento "Specifiche per la progettazione e l'esecuzione dei ponti ferroviari e di altre opere minori sotto binario RFI DTC INC PO SP IFS 001 A", ovvero:

Strutture in c.a.

Tensioni di compressione del calcestruzzo

Devono essere rispettati i seguenti limiti per le tensioni di compressione nel calcestruzzo:

- per combinazione di carico caratteristica (rara): $0,55 f_{ck}$;
- per combinazioni di carico quasi permanente: $0,40 f_{ck}$;
- per spessori minori di 5 cm, le tensioni normali limite di esercizio sono ridotte del 30%.

Tensioni di trazione nell'acciaio

Per le armature ordinarie, la massima tensione di trazione sotto la combinazione di carico caratteristica (rara) non deve superare $0,75 f_{yk}$.

3.1.2 Verifiche a fessurazione

La verifica di fessurazione consiste nel controllare l'ampiezza dell'apertura delle fessure sotto combinazione di carico frequente e combinazione quasi permanente. Essendo la struttura a contatto col terreno si considerano condizioni ambientali aggressive; le armature di acciaio ordinario sono ritenute poco sensibili [NTC – Tabella 4.1.IV]

In relazione all'aggressività ambientale e alla sensibilità dell'acciaio, l'apertura limite delle fessure è riportato nel prospetto seguente:

Tabella 1 – Criteri di scelta dello stato limite di fessurazione e Condizioni Ambientali

Gruppi di esigenza	Condizioni ambientali	Combinazione di azione	Armatura			
			Sensibile		Poco sensibile	
			Stato limite	wd	Stato limite	wd
a	Ordinarie	frequente	ap. fessure	$\leq w_2$	ap. fessure	$\leq w_3$

RELAZIONE DI CALCOLO PILA

COMMESSA	LOTTO	CODIFICA	DOCUMENTO	REV.	FOGLIO
RS3E	50	D 09 CL	VI 06 05 001	A	10 di 52

		quasi permanente	ap. fessure	$\leq w_1$	ap. fessure	$\leq w_2$
b	Aggressive	frequente	ap. fessure	$\leq w_1$	ap. fessure	$\leq w_2$
		quasi permanente	decompressione	-	ap. fessure	$\leq w_1$
c	Molto Aggressive	frequente	formazione fessure	-	ap. fessure	$\leq w_1$
		quasi permanente	decompressione	-	ap. fessure	$\leq w_1$

Tabella 4.1.III – Descrizione delle condizioni ambientali

CONDIZIONI AMBIENTALI	CLASSE DI ESPOSIZIONE
Ordinarie	X0, XC1, XC2, XC3, XF1
Aggressive	XC4, XD1, XS1, XA1, XA2, XF2, XF3
Molto aggressive	XD2, XD3, XS2, XS3, XA3, XF4

Risultando:

$$w_1 = 0.2 \text{ mm}$$

$$w_2 = 0.3 \text{ mm}$$

$$w_3 = 0.4 \text{ mm}$$

Data la maggior restrittività, alle prescrizioni normative presenti in NTC si sostituiscono in tal caso quelle fornite dal “Manuale di Progettazione delle Opere Civili” secondo cui la verifica nei confronti dello stato limite di apertura delle fessure va effettuata utilizzando le sollecitazioni derivanti dalla combinazione caratteristica (rara).

Per strutture in condizioni ambientali aggressive o molto aggressive, qual è il caso delle strutture in esame così come identificate nel DM 14.1.2008, per tutte le strutture a permanente contatto con il terreno e per le zone non ispezionabili di tutte le strutture, l'apertura convenzionale delle fessure dovrà risultare:

– Combinazione Caratteristica (Rara) $\delta_f \leq w_1 = 0.2 \text{ mm}$

Riguardo infine il valore di calcolo delle fessure da confrontare con i valori limite fissati dalla norma, si è utilizzata la procedura riportata al C4.1.2.2.4.5 della Circolare n. 617/09.

4 ANALISI E VERIFICHE PILA

4.1 Generalità

La pila presenta una sezione **circolare** di diametro 3.50m, una altezza complessiva di 8.20m.

Il pulvino è costituito da una sezione piena di dimensione 5.3x 8.00m ed altezza 2.20m.

Le fondazioni sono realizzate su pali di diametro 1.20 m collegate in testa da una platea di spessore 3.00m.

Per le verifiche dei singoli elementi della pila (pali, platea di fondazione ed elevazioni) è stata effettuata un'analisi dei carichi agenti sul piano appoggi e allo spiccato della fondazione; l'analisi viene riportata nelle pagine seguenti.

4.2 Modelli a mensola per la verifica delle pile

Le sollecitazioni di verifica della pila sono state determinate a partire dai valori delle risultanti delle azioni trasmesse dagli impalcati alla quota degli apparecchi di appoggio alle quali vanno combinate le azioni determinate dalle azioni date dalle forze di inerzia e dal peso proprio delle sottostrutture.

Il modello della struttura è stato implementato in un foglio di calcolo appositamente realizzato per la valutazione delle azioni agenti sulle singole parti della struttura, quali fusto pila e plinto.

Per l'analisi e la verifica del plinto di fondazione, si è utilizzato un modello, a seconda della geometria, di tirante-puntone o trave inflessa.

Per quanto riguarda invece le sollecitazioni sui pali di fondazione a partire dalle azioni risultanti nel baricentro del plinto alla quota di intradosso, sono stati calcolati, per ciascuna combinazione di carico, gli sforzi assiali e di taglio in testa ai pali di fondazione utilizzando il classico modello a piastra rigida.

4.3 Condizioni elementari e combinazioni di carico

Le verifiche di sicurezza strutturali e geotecniche sono state condotte utilizzando combinazioni di carico definite in ottemperanza alle NTC08, secondo quanto riportato nei paragrafi 2.5.3, 5.1.3.12. Di seguito sono mostrati i coefficienti parziali di sicurezza utilizzati allo SLU ed i coefficienti di combinazione adoperati per i carichi variabili nella progettazione delle strutture da ponte.

2.5.3 COMBINAZIONI DELLE AZIONI

Ai fini delle verifiche degli stati limite si definiscono le seguenti combinazioni delle azioni.

- Combinazione fondamentale, generalmente impiegata per gli stati limite ultimi (SLU):

$$\gamma_{G1} \cdot G_1 + \gamma_{G2} \cdot G_2 + \gamma_P \cdot P + \gamma_{Q1} \cdot Q_{k1} + \gamma_{Q2} \cdot \psi_{02} \cdot Q_{k2} + \gamma_{Q3} \cdot \psi_{03} \cdot Q_{k3} + \dots \quad (2.5.1)$$

- Combinazione caratteristica (rara), generalmente impiegata per gli stati limite di esercizio (SLE) irreversibili, da utilizzarsi nelle verifiche alle tensioni ammissibili di cui al § 2.7:

$$G_1 + G_2 + P + Q_{k1} + \psi_{02} \cdot Q_{k2} + \psi_{03} \cdot Q_{k3} + \dots \quad (2.5.2)$$

- Combinazione frequente, generalmente impiegata per gli stati limite di esercizio (SLE) reversibili:

$$G_1 + G_2 + P + \psi_{11} \cdot Q_{k1} + \psi_{22} \cdot Q_{k2} + \psi_{23} \cdot Q_{k3} + \dots \quad (2.5.3)$$

- Combinazione quasi permanente (SLE), generalmente impiegata per gli effetti a lungo termine:

$$G_1 + G_2 + P + \psi_{21} \cdot Q_{k1} + \psi_{22} \cdot Q_{k2} + \psi_{23} \cdot Q_{k3} + \dots \quad (2.5.4)$$

- Combinazione sismica, impiegata per gli stati limite ultimi e di esercizio connessi all'azione sismica E (v. § 3.2):

$$E + G_1 + G_2 + P + \psi_{21} \cdot Q_{k1} + \psi_{22} \cdot Q_{k2} + \dots \quad (2.5.5)$$

- Combinazione eccezionale, impiegata per gli stati limite ultimi connessi alle azioni eccezionali di progetto A_d (v. § 3.6):

$$G_1 + G_2 + P + A_d + \psi_{21} \cdot Q_{k1} + \psi_{22} \cdot Q_{k2} + \dots \quad (2.5.6)$$

Nelle combinazioni per SLE, si intende che vengono omissi i carichi Q_{kj} che danno un contributo favorevole ai fini delle verifiche e, se del caso, i carichi G_2 .

		Coefficiente	EQU ⁽¹⁾	A1 STR	A2 GEO	Combinazione eccezionale	Combinazione Sismica
Carichi permanenti	favorevoli	γ_{G1}	0,90	1,00	1,00	1,00	1,00
	sfavorevoli		1,10	1,35	1,00	1,00	1,00
Carichi permanenti non strutturali ⁽²⁾	favorevoli	γ_{G2}	0,00	0,00	0,00	1,00	1,00
	sfavorevoli		1,50	1,50	1,30	1,00	1,00
Ballast ⁽³⁾	favorevoli	γ_B	0,90	1,00	1,00	1,00	1,00
	sfavorevoli		1,50	1,50	1,30	1,00	1,00
Carichi variabili da traffico ⁽⁴⁾	favorevoli	γ_Q	0,00	0,00	0,00	0,00	0,00
	sfavorevoli		1,45	1,45	1,25	0,20 ⁽⁵⁾	0,20 ⁽⁵⁾
Carichi variabili	favorevoli	γ_{Qi}	0,00	0,00	0,00	0,00	0,00
	sfavorevoli		1,50	1,50	1,30	1,00	0,00
Precompressione	favorevole	γ_P	0,90	1,00	1,00	1,00	1,00
	sfavorevole		1,00 ⁽⁶⁾	1,00 ⁽⁷⁾	1,00	1,00	1,00

⁽¹⁾ Equilibrio che non coinvolga i parametri di deformabilità e resistenza del terreno; altrimenti si applicano i valori di GEO.
⁽²⁾ Nel caso in cui i carichi permanenti non strutturali (ad es. carichi permanenti portati) siano compiutamente definiti si potranno adottare gli stessi coefficienti validi per le azioni permanenti.
⁽³⁾ Quando si prevedano variazioni significative del carico dovuto al ballast, se ne dovrà tener conto esplicitamente nelle verifiche.
⁽⁴⁾ Le componenti delle azioni da traffico sono introdotte in combinazione considerando uno dei gruppi di carico gr della Tab. 5.2.IV.
⁽⁵⁾ Aliquota di carico da traffico da considerare.
⁽⁶⁾ 1,30 per instabilità in strutture con precompressione esterna
⁽⁷⁾ 1,20 per effetti locali

Azioni		ψ_0	ψ_1	ψ_2
Azioni singole da traffico	Carico sul rilevato a tergo delle spalle	0,80	0,50	0,0
	Azioni aerodinamiche generate dal transito dei convogli	0,80	0,50	0,0
Gruppi di carico	gr1	0,80 ⁽²⁾	0,80 ⁽¹⁾	0,0
	gr2	0,80 ⁽²⁾	0,80 ⁽¹⁾	-
	gr3	0,80 ⁽²⁾	0,80 ⁽¹⁾	0,0
	gr4	1,00	1,00 ⁽¹⁾	0,0
Azioni del vento	F_{Wk}	0,60	0,50	0,0
Azioni da neve	in fase di esecuzione	0,80	0,0	0,0
	SLU e SLE	0,0	0,0	0,0
Azioni termiche	T_k	0,60	0,60	0,50

(1) 0,80 se è carico solo un binario, 0,60 se sono carichi due binari e 0,40 se sono carichi tre o più binari.

(2) Quando come azione di base venga assunta quella del vento, i coefficienti ψ_0 relativi ai gruppi di carico delle azioni da traffico vanno assunti pari a 0,0.

RELAZIONE DI CALCOLO PILA

COMMESSA LOTTO CODIFICA DOCUMENTO REV. FOGLIO
RS3E 50 D 09 CL VI 06 05 001 A 14 di 52

Azioni		Ψ_0	Ψ_1	Ψ_2
Azioni da traffico	Treno di carico LM 71	0,80 ⁽³⁾	⁽¹⁾	0,0
	Treno di carico SW /0	0,80 ⁽³⁾	0,80	0,0
	Treno di carico SW/2	0,0 ⁽³⁾	0,80	0,0
	Treno scarico	1,00 ⁽³⁾	-	-
	Centrifuga	⁽²⁾ ⁽³⁾	⁽²⁾	⁽²⁾
	Azione laterale (serpeggio)	1,00 ⁽³⁾	0,80	0,0

(1) 0,80 se è carico solo un binario, 0,60 se sono carichi due binari e 0,40 se sono carichi tre o più binari.

(2) Si usano gli stessi coefficienti Ψ adottati per i carichi che provocano dette azioni.

(3) Quando come azione di base venga assunta quella del vento, i coefficienti Ψ_0 relativi ai gruppi di carico delle azioni da traffico vanno assunti pari a 0,0.

Nel seguito si riportano le azioni considerate ai fini della valutazione delle sollecitazioni agenti sulle sottostrutture e, quindi, alle verifiche strutturali.

	A2- SIU - N max gr.1	A2- SIU - MT max gr.1	A2- SIU - ML max gr.1	A2- SIU - N max gr.3	A2- SIU - MT max gr.3	A2- SIU - ML max gr.3	A2- SIU - Vento ponte scarico	A2- SIU Gmin - N max gr.1	A2- SIU Gmin - MT max gr.1	A2- SIU Gmin - ML max gr.1	A2- SIU Gmin - N max gr.3	A2- SIU Gmin - MT max gr.3	A2- SIU Gmin - ML max gr.3	A2- SIU Gmin - Vento ponte scarico	A1- SIU - N max gr.1	A1- SIU - MT max gr.1	A1- SIU - ML max gr.1	A1- SIU - N max gr.3	A1- SIU - MT max gr.3	A1- SIU - ML max gr.3	A1- SIU - Vento ponte scarico	A1- SIU Gmin - N max gr.1	A1- SIU Gmin - MT max gr.1	A1- SIU Gmin - ML max gr.1
Peso proprio g1	1,00	1,00	1,00	1,00	1,00	1,00	1,00	1,00	1,00	1,00	1,00	1,00	1,00	1,00	1,35	1,35	1,35	1,35	1,35	1,35	1,35	1,00	1,00	1,00
Permanenti G2	1,30	1,30	1,30	1,30	1,30	1,30	1,30	0,00	0,00	0,00	0,00	0,00	0,00	0,00	1,50	1,50	1,50	1,50	1,50	1,50	1,50	1,50	0,00	0,00
Ballast	1,30	1,30	1,30	1,30	1,30	1,30	1,30	1,00	1,00	1,00	1,00	1,00	1,00	1,00	1,50	1,50	1,50	1,50	1,50	1,50	1,50	1,00	1,00	1,00
Comb. Nmax Qv	1,25	0,00	0,00	1,25	0,00	0,00	0,00	1,25	0,00	0,00	1,25	0,00	0,00	0,00	1,45	0,00	0,00	1,45	0,00	0,00	0,00	1,45	0,00	0,00
Comb. Nmax Q frenatura	0,63	0,00	0,00	1,25	0,00	0,00	0,00	0,63	0,00	0,00	1,25	0,00	0,00	0,00	0,73	0,00	0,00	1,45	0,00	0,00	0,00	0,73	0,00	0,00
Comb. Nmax Q centrifuga	1,25	0,00	0,00	0,63	0,00	0,00	0,00	1,25	0,00	0,00	0,63	0,00	0,00	0,00	1,45	0,00	0,00	0,73	0,00	0,00	0,00	1,45	0,00	0,00
Comb. Nmax Q serpeggio	1,25	0,00	0,00	0,63	0,00	0,00	0,00	1,25	0,00	0,00	0,63	0,00	0,00	0,00	1,45	0,00	0,00	0,73	0,00	0,00	0,00	1,45	0,00	0,00
Comb. Mmax Qv	0,00	1,25	0,00	0,00	1,25	0,00	0,00	0,00	1,25	0,00	0,00	1,25	0,00	0,00	1,45	0,00	0,00	1,45	0,00	0,00	0,00	1,45	0,00	0,00
Comb. Mmax Q frenatura	0,00	0,63	0,00	0,00	1,25	0,00	0,00	0,63	0,00	0,00	1,25	0,00	0,00	0,00	0,73	0,00	0,00	1,45	0,00	0,00	0,00	0,73	0,00	0,00
Comb. Mmax Q centrifuga	0,00	1,25	0,00	0,00	0,63	0,00	0,00	1,25	0,00	0,00	0,63	0,00	0,00	0,00	1,45	0,00	0,00	0,73	0,00	0,00	0,00	1,45	0,00	0,00
Comb. Mmax Q serpeggio	0,00	1,25	0,00	0,00	0,63	0,00	0,00	1,25	0,00	0,00	0,63	0,00	0,00	0,00	1,45	0,00	0,00	0,73	0,00	0,00	0,00	1,45	0,00	0,00
Comb. MLmax Qv	0,00	0,00	1,25	0,00	0,00	1,25	0,00	0,00	0,00	1,25	0,00	0,00	1,25	0,00	0,00	1,45	0,00	0,00	1,45	0,00	0,00	1,45	0,00	0,00
Comb. MLmax Q frenatura	0,00	0,00	0,63	0,00	0,00	1,25	0,00	0,00	0,00	0,63	0,00	0,00	1,25	0,00	0,00	0,73	0,00	0,00	1,45	0,00	0,00	0,73	0,00	0,00
Comb. MLmax Q centrifuga	0,00	0,00	1,25	0,00	0,00	0,63	0,00	0,00	1,25	0,00	0,00	0,63	0,00	0,00	1,45	0,00	0,00	0,73	0,00	0,00	0,00	1,45	0,00	0,00
Comb. MLmax Q serpeggio	0,00	0,00	1,25	0,00	0,00	0,63	0,00	0,00	1,25	0,00	0,00	0,63	0,00	0,00	1,45	0,00	0,00	0,73	0,00	0,00	0,00	1,45	0,00	0,00
Vento Ponte Scarico	0,00	0,00	0,00	0,00	0,00	0,00	1,30	0,00	0,00	0,00	0,00	0,00	1,30	0,00	0,00	0,00	0,00	0,00	0,00	0,00	1,50	0,00	0,00	
Vento Ponte Carico	0,78	0,78	0,00	0,78	0,78	0,00	0,00	0,78	0,78	0,00	0,78	0,78	0,00	0,00	0,90	0,90	0,00	0,90	0,90	0,00	0,00	0,90	0,90	0,00
Attrito permanente	1,00	1,00	1,00	1,00	1,00	1,00	1,00	1,00	1,00	1,00	1,00	1,00	1,00	1,00	1,35	1,35	1,35	1,35	1,35	1,35	1,35	1,35	1,35	1,35
Attrito carichi mobili	1,25	1,25	1,25	1,25	1,25	1,25	0,00	1,25	1,25	1,25	1,25	1,25	1,25	1,25	1,45	1,45	1,45	1,45	1,45	1,45	1,45	1,45	1,45	1,45
Sisma longitudinale	0,00	0,00	0,00	0,00	0,00	0,00	0,00	0,00	0,00	0,00	0,00	0,00	0,00	0,00	0,00	0,00	0,00	0,00	0,00	0,00	0,00	0,00	0,00	0,00
Sisma trasversale	0,00	0,00	0,00	0,00	0,00	0,00	0,00	0,00	0,00	0,00	0,00	0,00	0,00	0,00	0,00	0,00	0,00	0,00	0,00	0,00	0,00	0,00	0,00	0,00
Sisma verticale	0,00	0,00	0,00	0,00	0,00	0,00	0,00	0,00	0,00	0,00	0,00	0,00	0,00	0,00	0,00	0,00	0,00	0,00	0,00	0,00	0,00	0,00	0,00	0,00
Vento x	0,00	0,00	0,78	0,00	0,00	0,78	0,00	0,00	0,00	0,78	0,00	0,00	0,78	0,00	0,00	0,00	0,00	0,00	0,00	0,00	0,00	0,00	0,00	0,90
Vento y	0,78	0,78	0,00	0,78	0,78	0,00	1,30	0,78	0,78	0,00	0,78	0,78	0,00	1,30	0,90	0,90	0,00	0,90	0,90	0,00	0,00	1,50	0,90	0,90

RELAZIONE DI CALCOLO PILA

COMMESSA LOTTO CODIFICA DOCUMENTO REV. FOGLIO
RS3E 50 D 09 CL VI 06 05 001 A 15 di 52

A1 - SUV Gmin - N max gr.3	A1 - SUV Gmin - MT max gr.3	A1 - SUV Gmin - ML max gr.3	A1 - SUV Gmin - Vento ponte scarico	SLE ma - N max gr.1	SLE ma - MT max gr.1	SLE ma - ML max gr.1	SLE ma - N max gr.3	SLE ma - MT max gr.3	SLE ma - ML max gr.3	SLE ma - Vento ponte scarico	SLE freq - N max gr.1	SLE freq - MT max gr.1	SLE freq - ML max gr.1	SLE freq - N max gr.3	SLE freq - MT max gr.3	SLE freq - ML max gr.3	SLE freq - Vento ponte scarico	SLE quasi permanente	SUV - N max	SUV - MT max	SUV - ML max	SUV - MT max	SUV - ML max	SUV - N min	
1.00	1.00	1.00	1.00	1.00	1.00	1.00	1.00	1.00	1.00	1.00	1.00	1.00	1.00	1.00	1.00	1.00	1.00	1.00	1.00	1.00	1.00	1.00	1.00	1.00	Peso proprio g1
0.00	0.00	0.00	0.00	1.00	1.00	1.00	1.00	1.00	1.00	1.00	1.00	1.00	1.00	1.00	1.00	1.00	1.00	1.00	1.00	1.00	1.00	1.00	1.00	1.00	Permanenti G2
1.00	1.00	1.00	1.00	1.00	1.00	1.00	1.00	1.00	1.00	1.00	1.00	1.00	1.00	1.00	1.00	1.00	1.00	1.00	1.00	1.00	1.00	1.00	1.00	1.00	Ballast
1.45	0.00	0.00	0.00	1.00	0.00	0.00	1.00	0.00	0.00	0.00	0.80	0.00	0.00	0.80	0.00	0.00	0.00	0.00	0.20	0.00	0.00	0.00	0.00	0.20	Comb. Nmax Qr
1.45	0.00	0.00	0.00	0.50	0.00	0.00	1.00	0.00	0.00	0.00	0.40	0.00	0.00	0.80	0.00	0.00	0.00	0.00	0.20	0.00	0.00	0.00	0.00	0.20	Comb. Nmax Q frenatura
0.73	0.00	0.00	0.00	1.00	0.00	0.00	0.50	0.00	0.00	0.00	0.80	0.00	0.00	0.40	0.00	0.00	0.00	0.00	0.20	0.00	0.00	0.00	0.00	0.20	Comb. Nmax Q centrifuga
0.73	0.00	0.00	0.00	1.00	0.00	0.00	0.50	0.00	0.00	0.00	0.80	0.00	0.00	0.40	0.00	0.00	0.00	0.00	0.20	0.00	0.00	0.00	0.00	0.20	Comb. Nmax Q serpeggio
0.00	1.45	0.00	0.00	0.00	1.00	0.00	0.00	1.00	0.00	0.00	0.00	0.80	0.00	0.00	0.80	0.00	0.00	0.00	0.00	0.20	0.00	0.20	0.00	0.00	Comb. MTmax Qr
0.00	1.45	0.00	0.00	0.00	0.50	0.00	0.00	1.00	0.00	0.00	0.40	0.00	0.00	0.80	0.00	0.00	0.00	0.00	0.00	0.20	0.00	0.20	0.00	0.00	Comb. MTmax Q frenatura
0.00	0.73	0.00	0.00	0.00	1.00	0.00	0.00	0.50	0.00	0.00	0.80	0.00	0.00	0.40	0.00	0.00	0.00	0.00	0.00	0.20	0.00	0.20	0.00	0.00	Comb. MTmax Q centrifuga
0.00	0.73	0.00	0.00	0.00	1.00	0.00	0.00	0.50	0.00	0.00	0.80	0.00	0.00	0.40	0.00	0.00	0.00	0.00	0.00	0.20	0.00	0.20	0.00	0.00	Comb. MTmax Q serpeggio
0.00	0.00	1.45	0.00	0.00	0.00	1.00	0.00	0.00	1.00	0.00	0.00	0.80	0.00	0.00	0.80	0.00	0.00	0.00	0.00	0.00	0.20	0.00	0.20	0.00	Comb. MLmax Qr
0.00	0.00	1.45	0.00	0.00	0.00	0.50	0.00	0.00	1.00	0.00	0.00	0.40	0.00	0.00	0.80	0.00	0.00	0.00	0.00	0.00	0.20	0.00	0.20	0.00	Comb. MLmax Q frenatura
0.00	0.00	0.73	0.00	0.00	0.00	1.00	0.00	0.00	0.50	0.00	0.00	0.80	0.00	0.00	0.40	0.00	0.00	0.00	0.00	0.00	0.20	0.00	0.20	0.00	Comb. MLmax Q centrifuga
0.00	0.00	0.73	0.00	0.00	0.00	1.00	0.00	0.00	0.50	0.00	0.00	0.80	0.00	0.00	0.40	0.00	0.00	0.00	0.00	0.00	0.20	0.00	0.20	0.00	Comb. MLmax Q serpeggio
0.00	0.00	0.00	1.50	0.00	0.00	0.00	0.00	0.00	0.00	1.00	0.00	0.00	0.00	0.00	0.00	0.50	0.00	0.00	0.00	0.00	0.00	0.00	0.00	0.00	Vento Ponte Scarico
0.90	0.90	0.00	0.00	0.60	0.60	0.00	0.60	0.60	0.00	0.00	0.00	0.00	0.00	0.00	0.00	0.00	0.00	0.00	0.00	0.00	0.00	0.00	0.00	0.00	Vento Ponte Carico
1.35	1.35	1.35	1.00	1.00	1.00	1.00	1.00	1.00	1.00	1.00	1.00	1.00	1.00	1.00	1.00	1.00	1.00	1.00	1.00	0.50	0.50	0.50	0.50	0.50	Attrito permanente
1.45	1.45	1.45	0.00	1.00	1.00	1.00	1.00	1.00	1.00	0.00	0.80	0.80	0.80	0.80	0.80	0.80	0.00	0.00	0.20	0.20	0.20	0.20	0.20	0.20	Attrito carichi mobili
0.00	0.00	0.00	0.00	0.00	0.00	0.00	0.00	0.00	0.00	0.00	0.00	0.00	0.00	0.00	0.00	0.00	0.00	0.00	0.30	0.30	1.00	0.30	1.00	0.30	Sisma longitudinale
0.00	0.00	0.00	0.00	0.00	0.00	0.00	0.00	0.00	0.00	0.00	0.00	0.00	0.00	0.00	0.00	0.00	0.00	0.00	0.30	1.00	0.30	1.00	0.30	0.30	Sisma trasversale
0.00	0.00	0.00	0.00	0.00	0.00	0.00	0.00	0.00	0.00	0.00	0.00	0.00	0.00	0.00	0.00	0.00	0.00	0.00	1.00	0.30	0.30	-0.30	-0.30	-1.00	Sisma verticale
0.00	0.00	0.90	0.00	0.00	0.00	0.60	0.00	0.60	0.00	0.00	0.00	0.00	0.00	0.00	0.00	0.00	0.00	0.00	0.00	0.00	0.00	0.00	0.00	0.00	Vento x
0.90	0.90	0.00	1.50	0.60	0.60	0.00	0.60	0.60	0.00	1.00	0.00	0.00	0.00	0.00	0.00	0.00	0.00	0.00	0.00	0.00	0.00	0.00	0.00	0.00	Vento y

Gli scarichi agli appoggi, riportati nei paragrafi seguenti, fanno riferimento alla seguente terna di assi:

- asse X coincidente con l'asse longitudinale del ponte;
- asse Y coincidente con l'asse trasversale del ponte;
- asse Z coincidente con l'asse verticale del ponte;

Per quanto riguarda la risposta alle diverse componenti dell'azione sismica, poiché si è adottata un'analisi in campo lineare, essa può essere calcolata separatamente per ciascuna delle componenti. Gli effetti sulla struttura (sollecitazioni, deformazioni, spostamenti, ecc) sono combinate successivamente applicando l'espressione

$$1.00 \cdot Ex + 0.30 \cdot Ey + 0.30 \cdot Ez$$

con rotazione dei coefficienti moltiplicativi e conseguente individuazione degli effetti più gravosi.

Occorre precisare che con il segno negativo verranno indicate le azioni aventi direzione positiva delle Z (ovvero dirette verso l'alto).

4.4 Sistemi di riferimento ed unità di misura

- Asse X parallelo all'asse longitudinale dell'impalcato
- Asse Y ortogonale all'asse longitudinale dell'impalcato
- Asse Z verticale
- Lunghezze = m
- Forze = kN

4.5 Geometria della Pila

Generali			
Peso cls	γ_{cls}	25	kN/m ³
Peso terreno	γ_t	20	kN/m ³
Sovraccarico accidentale sul rilevato	q_{acc}	53.0	kN/m ²
Altezza appoggio + baggiolo	h_{sp}	0.45	m
Distanza piano appoggi-intradosso plinto	H_1	11.65	m
Pulvino			
Altezza	H_p	2.20	m
Lunghezza lungo asse X	b_p	5.3	m
Lunghezza lungo asse Y	L_p	8.00	m
Area Sezione		42.40	m ²
% Vuoti sezione		0%	
Coordinata X del baricentro rispetto fondazione	x_p	0.00	m
Pila			
Altezza	H_m	8.20	m
Lunghezza lungo asse X	b_m	3.50	m
Lunghezza lungo asse Y	L_m	3.50	m
Area Sezione		9.62	m ²
% Vuoti sezione		0%	
Coordinata X del baricentro rispetto fondazione	x_m	0.00	m
Distanza asse baggioli- asse pila (sx)	x_{m1}	-1.20	m
Distanza asse baggioli- asse pila (dx)	x_{m2}	1.20	m
Plinto			
Altezza	H_f	3.00	m
Lunghezza lungo asse X	b_f	9.60	m
Lunghezza lungo asse Y	L_f	9.60	m
Spessore ricoprimento medio	h_t	1.00	m
Distanza asse baggioli - baricentro plinto (sx)		-1.20	m
Distanza asse baggioli - baricentro plinto (dx)		1.20	m
Terreno			
Angolo d'attrito interno (φ)		35	°
Coefficiente per il calcolo della spinta a riposo	▼	Ko = 0.426	▼
Sisma			
S_s		1.472	
a_g		0.150	
Coefficiente sismico orizzontale	k_h	0.221	

Tabella 2 – Dati di input

4.6 Analisi dei carichi

4.6.1 Peso proprio elementi strutturali

➤ *Peso proprio strutture*

I pesi degli elementi strutturali sono calcolati utilizzando un peso di volume del calcestruzzo pari a 25 kN/m³.

Impalcato (sx)			
N° Binari		1	
Lunghezza	L	25	m
Peso Proprio	G ₁	162	kN/m
Permanenti portati	G ₂	120	kN/m
Ballast		0	kN/m
n° totale appoggi sulla pila	n	2	
Reazione appoggio i = (G ₁ *L/2)/n	R _i	1012.5	kN
Reazione appoggio i = (G ₂ *L/2)/n	R _i	750.0	kN
Reazione appoggio i = (G ₂ *L/2)/n (ballast)	R _i	0	kN

Impalcato (dx)			
N° Binari		1	
Lunghezza	L	25	m
Peso Proprio	G1	162	kN/m
Permanenti portati	G2	120	kN/m
Ballast	G2	0	kN/m
n° totale appoggi sulla pila	n	2	
Reazione appoggio i = (G ₁ *L/2)/n	R _i	1012.5	kN
Reazione appoggio i = (G ₂ *L/2)/n	R _i	750.0	kN
Reazione appoggio i = (G ₂ *L/2)/n (ballast)	R _i	0	kN

4.6.2 Carichi trasmessi dall'impalcato

Si riportano di seguito gli scarichi agli appoggi dedotti dall'analisi dell'impalcato, per la campata sinistra e destra (la condizione di Momento Longitudinale massimo "MLmax" è riferita alla situazione in cui solo uno dei due impalcato venga caricato):

RELAZIONE DI CALCOLO PILA

COMMESSA	LOTTO	CODIFICA	DOCUMENTO	REV.	FOGLIO
RS3E	50	D 09 CL	VI 06 05 001	A	18 di 52

SX									
CAP 25 ML SINGOLO BINARIO									
APPOGGIO	REAZIONE	y	REAZ. LM71	REAZ. SW2	α LM71	α SW2	ϕ 3	REAZ. LM71	REAZ. SW2
1	0.530	1.55	1239	1875	1.1	1	1.20	1638	2254
2	0.470	-1.55	1239	1875	1.1	1	1.20	1638	2254
dx									
SEZIONE MISTA 50 ML SINGOLO BINARIO									
APPOGGIO	REAZIONE	y	REAZ. LM71	REAZ. SW2	α LM71	α SW2	ϕ 3	REAZ. LM71	REAZ. SW2
1	0.530	1.8	2241	2305	1.1	1	1.05	2591	2423
2	0.470	-1.8	2241	2305	1.1	1	1.05	2591	2423
dx ML max									
SEZIONE MISTA 50 ML SINGOLO BINARIO									
APPOGGIO	REAZIONE	y	REAZ. LM71	REAZ. SW2	α LM71	α SW2	ϕ 3	REAZ. LM71	REAZ. SW2
1	0.530	1.8	2540	3302	1.1	1	1.05	2936	3470
2	0.470	-1.8	2540	3302	1.1	1	1.05	2936	3470

Che ripartiti con il metodo Courbon sul singolo appoggio forniscono i risultati in tabella seguente.

REAZIONI VINCOLARI [kN,m]

SX

Appoggio	A			B			biz
	FZ	FX	FY	FZ	FX	FY	
Descrizione carico	[kN]	[kN]	[kN]	[kN]	[kN]	[kN]	[m]
Peso proprio gl	1013			1013			0.00
Permanenti G2	750			750			0.00
Ballast							0.00
Comb. Nmax Qv	596			529			0.00
Comb. Nmax Q frenatura		0			0		3.30
Comb. Nmax Q centrifuga			119			119	5.10
Comb. Nmax Q serpeggio			13			13	3.30
Comb. MTmax Qv	868			770			0.00
Comb. MTmax Q frenatura		0			0		3.30
Comb. MTmax Q centrifuga			165			165	5.10
Comb. MTmax Q serpeggio			13			13	3.30
Comb. MLmax Qv	0			0			0.00
Comb. MLmax Q frenatura		0			0		3.30
Comb. MLmax Q centrifuga						0	5.10
Comb. MLmax Q serpeggio							3.30
Vento Ponte Scarico			66			66	3.30
Vento Ponte Carico			137			137	3.65
Attrito permanente		53	53		53	53	0.00
Attrito carichi mobili		26	26		23	23	0.00
q=1.5	Sisma longitudinale						2.50
	Sisma trasversale			1002		1002	2.50
	Sisma verticale	296			296		0.00
q=1.36	Sisma longitudinale		0		0		2.50
	Sisma trasversale			1105		1105	2.50
	Sisma verticale	296			296		0.00
q=1	Sisma longitudinale		0		0		2.50
	Sisma trasversale			1503		1503	2.50
	Sisma verticale	296			296		0.00

RELAZIONE DI CALCOLO PILA

COMMESSA	LOTTO	CODIFICA	DOCUMENTO	REV.	FOGLIO
RS3E	50	D 09 CL	VI 06 05 001	A	19 di 52

REAZIONI VINCOLARI [kN,m]

dx

Appoggio	A			B			biz
	FZ	FX	FY	FZ	FX	FY	
Descrizione carico	[kN]	[kN]	[kN]	[kN]	[kN]	[kN]	[m]
Peso proprio g1	1013			1013			0.00
Permanenti G2	750			750			0.00
Ballast							0.00
Comb. Nmax Qv	1195			1059			0.00
Comb. Nmax Q frenatura		438			438		3.30
Comb. Nmax Q centrifuga			119			119	5.10
Comb. Nmax Q serpeggio			13			13	3.30
Comb. MTmax Qv	868			770			0.00
Comb. MTmax Q frenatura		438			438		3.30
Comb. MTmax Q centrifuga			165			165	5.10
Comb. MTmax Q serpeggio			13			13	3.30
Comb. MLmax Qv	1195			1059			0.00
Comb. MLmax Q frenatura		438			438		3.30
Comb. MLmax Q centrifuga			119			119	5.10
Comb. MLmax Q serpeggio			25			25	3.30
Vento Ponte Scarico			66			66	3.30
Vento Ponte Carico			137			137	3.65
Attrito permanente		53	53		53	53	0.00
Attrito carichi mobili		36	36		32	32	0.00
q _{1.5}	Sisma longitudinale		2046		2046		2.50
	Sisma trasversale			1002		1002	2.50
	Sisma verticale	296			296		0.00
q _{1.36}	Sisma longitudinale		2257		2257		2.50
	Sisma trasversale			1105		1105	2.50
	Sisma verticale	296			296		0.00
q ₁	Sisma longitudinale		3069		3069		2.50
	Sisma trasversale			1503		1503	2.50
	Sisma verticale	296			296		0.00

4.6.3 Azione del Vento

Azione del Vento - generale - NTC e EC 1-1-4:2005				
Condizione (ponte carico o scarico)		scarico	carico	
Altitudine sul livello del mare	as	250	250	m
Zona	Z	4	4	
Parametri	Vb,0	28	28	m/s
Parametri	a0	500	500	m
Parametri	ks	0.36	0.36	1/s
Velocità di riferimento (Tr=50anni)	$v_b = v_{b0} * (1 + k_s(as/a_0 - 1))$	28	28	m/s
Periodo di ritorno considerato	TR	112.5	112.5	anni
	α_R	1.05	1.05	
Velocità di riferimento	Vb(TR)	29.28	29.28	m/s
Densità dell'aria	ρ	1.25	1.25	kg/mc
Pressione cinetica di riferimento	$q_b = 0.5 * \rho * v_b^2$	0.54	0.54	kN/mq
Classe di rugosità del terreno		D	D	
Distanza dalla costa		>10	>10	km
Altitudine sul livello del mare		<750	<750	m
Categoria di esposizione del sito	Cat	II	II	
Vento su impalcato				
Parametri	kr	0.19	0.19	
Parametri	z0	0.05	0.05	m
Parametri	zmin	4	4	m
Altezza di riferimento per l'impalcato (EC punto 8.3.1(6))	z	16	16	m
Coefficiente di topografia	ct	1	1	
Coefficiente di esposizione (z)	ce(z)	2.66	2.66	
Larghezza impalcato	b	9.7	9.7	m
Altezza impalcato	h1	2.6	3.3	m
Altezza treno o parapetto	h2	1.5	4	m
Altezza totale impalcato (comprese le barriere o treno)	dtot	4.1	7.3	m
Rapporto di forma	b/dtot	2.37	1.33	
Coefficiente di forza (figura 8.3 EC)	cfx	1.79	2.10	
Riepilogo				
Pressione cinetica di riferimento	qb	0.54	0.54	kN/mq
Coefficiente di esposizione	ce	2.66	2.66	
Coefficiente di forza	cfx	1.79	2.10	
Altezza di riferimento (EC punto 8.3.1 (4) e (5))	d	4.1	7.3	m
Forza statica equivalente a m/1	f=prodotto	10.5	21.9	kN/m
Pressione statica equivalente	p=f/d	2.55	2.99	kN/mq
Pressione statica equivalente (minima considerata)	pmin	1.5	1.5	kN/mq
Forza statica equivalente a m/1 considerata	f	10.5	21.9	kN/m
Vento impalcato a ponte scarico				
		sx	dx	
Forza statica equivalente	f	10.5	10.5	kN/m
Luce impalcato	L	25	25	m
Forza trasversale al piano appoggi	FT=f*L/2	131	131	kN/m
Vento impalcato a ponte carico				
Forza statica equivalente	f	21.9	21.9	kN/m
Luce impalcato	L	25	25	m
Forza trasversale al piano appoggi	FT=f*L/2	273	273	kN/m

RELAZIONE DI CALCOLO PILA

COMMESSA	LOTTO	CODIFICA	DOCUMENTO	REV.	FOGLIO
RS3E	50	D 09 CL	VI 06 05 001	A	21 di 52

Vento su Pila e Pulvino					
Parametri	kr	0.19	0.19		
Parametri	z0	0.05	0.05	m	
Parametri	zmin	4	4	m	
Altezza di riferimento per pila e pulvino (EC punto 7.6(2))	z	10.40	10.4	m	
Coefficiente di topografia	ct	1	1		
Coefficiente di esposizione (z)	ce(z)	2.38	2.38		
		dir.x	dir.x		
Altezza (dir.z)	h	2.20	8.20	m	
Larghezza in direz. Ortogonale al vento	b	8.00	3.50	m	
Larghezza in direz. Parallela al vento	d	5.3	3.5	m	
Rapporto di forma	d/b	0.66	1.00		
Coefficiente di forza (figura 7.23 EC)	cfx	2.38	2.15		
Raggio di arrotondamento (figura 7.24 EC)	r	0	1.75	m	
Rapporto di forma II	r/b	0.00	0.50		
Fattore di riduzione (figura 7.24 EC)	Ψ	1.00	0.50		
Pressione di riferimento	$q=\Psi*cfx*ce*qb$	3.03	1.37	kN/mq	
Area investita dal vento	$A=b*h$	17.6	28.7	mq	
Forza statica equivalente	$F=q*A$	53	39	kN	
		dir.y	dir.y		
Altezza (dir.z)	h	2.20	8.20	m	
Larghezza in direz. Ortogonale al vento	b	5.3	3.5	m	
Larghezza in direz. Parallela al vento	d	8	3.5	m	
Rapporto di forma	d/b	1.51	1.00		
Coefficiente di forza (figura 7.23 EC)	cfx	1.86	2.15		
Raggio di arrotondamento (figura 7.24 EC)	r	0	1.75	m	
Rapporto di forma II	r/b	0.00	0.50		
Fattore di riduzione (figura 7.24 EC)	Ψ	1.00	0.50		
Pressione di riferimento	$q=\Psi*cfx*ce*qb$	2.36	1.37	kN/mq	
Area investita dal vento	$A=b*h$	11.66	28.7	mq	
Forza statica equivalente	$F=q*A$	28	39	kN	
Riepilogo					
Vento x					
Pulvino	F	53	kN		
Pila	F	39	kN		
Distanza tra spiccato fusto e testa pulvino	bz	10.40	m		
Forza totale	F Tot	93	kN		
Vento y					
Pulvino	F	28	kN		
Pila	F	39	kN		
Distanza tra spiccato fusto e testa pulvino	bz	10.40	m		
Forza totale	F Tot	67	kN		

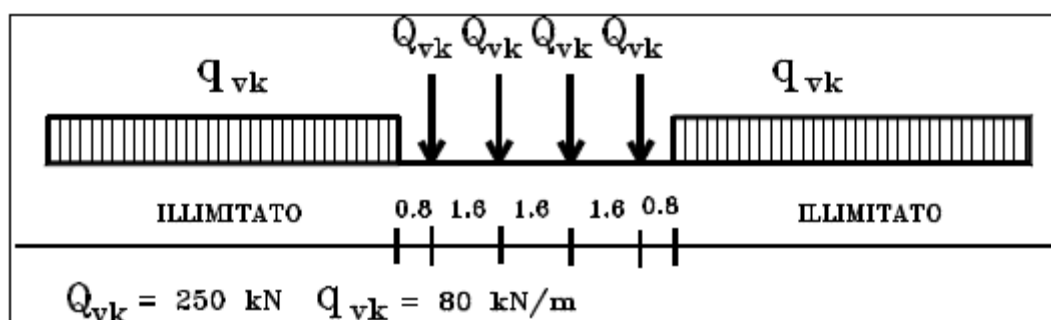
4.6.4 Carichi da traffico verticali

L'opera è stata progettata considerando le sollecitazioni dovute al carico da traffico ferroviario, considerando i modelli LM71 e/o SW/2.

Si riportano di seguito le caratteristiche dei modelli di traffico presi in esame.

➤ Modello di carico LM71

Sia le istruzioni RFI che le NTC 2008 (par. 5.2.2.2.1.1), definiscono questo modello di carico tramite carichi concentrati e carichi distribuiti, riferiti all'asse dei binari.



Treno di carico LM 71

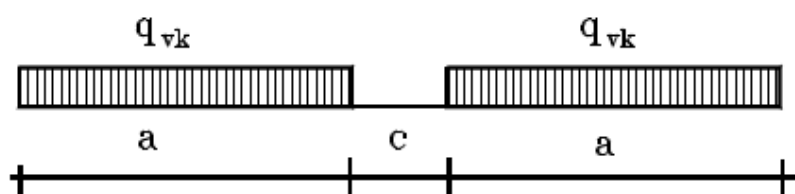
Carichi concentrati: quattro assi da 250 kN disposti ad interasse di 1,60 m;

Carico distribuito: 80 kN/m in entrambe le direzioni, a partire da 0,8 m dagli assi d'estremità e per una lunghezza illimitata

Per questo modello di carico è prevista un'eccentricità del carico rispetto all'asse del binario.

➤ Modello di carico SW/2

Sia le istruzioni RFI che le NTC 2008 (par. 5.2.2.2.1.2), definiscono questo modello di carico tramite solo carichi distribuiti.



Treno di carico SW

Tipo di Carico	q_{vk} [kN/m]	a [m]	c [m]
SW/0	133	15,0	5,3
SW/2	150	25,0	7,0

In questo modello di carico non è prevista alcuna eccentricità del carico ferroviario.

Le azioni di entrambi i modelli dovranno essere moltiplicate per un coefficiente di adattamento definito dalla seguente tabella (tab. 2.5.1.4.1.1 - RFI DTC SI PS MA IFS 001 A).

MODELLO DI CARICO	COEFFICIENTE "α"
LM71	1,10
SW/0	1,10
SW/2	1,00

4.6.5 Effetti dinamici

Per la definizione del coefficiente dinamico si segue quanto contenuto nel par.5.2.2.2.3 del DM 14.1.2008 che per l'opera in esame riporta:

$$\Phi_3 = \frac{2,16}{\sqrt{L_\phi - 0,2}} + 0,73 \quad \text{con la limitazione } 1,00 \leq \Phi_3 \leq 2,00 \quad [5.2.7]$$

4.6.6 Carichi da traffico orizzontali

Frenatura		
L	25	m
Lcalc	25	per Treno LM 71
	19.7	per Treno SW/0
	25	per SW/2
Qlb,k	550	per Treno LM 71
Qlb,k	433.4	per Treno SW/0
Qlb,k	875	per SW/2
Qlb,k (filtrata)per Treno LM 71	550	kN
Qlb,k (filtrata)per Treno SW/0	433	kN
Qlb,k(filtrata)per SW/2	875	kN

Avviamento		
L	25	m
Lcalc	25	per Treno LM 71
	19.7	per Treno SW/0
	25	per SW/2
Qla,k	907.5	per Treno LM 71
Qla,k	715.11	per Treno SW/0
Qla,k	825	per SW/2
Qla,k (filtrata)per Treno LM 71	908	kN
Qla,k (filtrata)per Treno SW/0	715	kN
Qla,k(filtrata)per SW/2	825	kN

RELAZIONE DI CALCOLO PILA

COMMESSA	LOTTO	CODIFICA	DOCUMENTO	REV.	FOGLIO
RS3E	50	D 09 CL	VI 06 05 001	A	24 di 52

Serpeggio		
FT=100kN /2	50	kN*m
Treno LM 71		
α	1.1	
FT* α	55	kN
Treno SW/0		
α	1.1	
FT* α	55	kN
Treno SW/2		
α	1	
FT* α	50	kN

Forza centrifuga sx

L	25	m	L ₀	22.8	m
velocità di progetto	160	km/h	ø3 Coeff. Dinamico	1.202	
raggio planimetrico	750	m			
f	0.82	Per V>120 km/h			
f	1	Per V<120 km/h			

Treno LM 71			Treno SW/0			Treno SW/2		
Qvk	1000	kN	qvk	133	kN/m	qvk	150	kN/m
qvk	80	kN/m	α	1.1		α	1	
α	1	Per V>120 km/h						
α	1.1	Per V<120 km/h						
Qtk	265	Per V>120 km/h						
	200	Per V<120 km/h						
Qtk scelto	265		qtk	18	Per V=100 km/h	qtk	19	Per V=100 km/h
qtk	21	Per V>120 km/h						
	16	Per V<120 km/h						
qtk scelto	21		L calc	19.7	m	L calc	25	m
L calc= L-6.4m	18.6	m	qtk*Lcalc	364	kN	qtk*Lcalc	473	kN
qtk*Lcalc	394	kN	FT= qtk*Lcalc /2	182		FT= qtk*Lcalc /2	237	
FT= (qtk*Lcalc + qtk)/2	329	kN						

Forza centrifuga dx

L	25	m	L ₀	22.8	m
velocità di progetto	160	km/h	ø3 Coeff. Dinamico	1.202	
raggio planimetrico	750	m			
f	0.82	Per V>120 km/h			
f	1	Per V<120 km/h			

Treno LM 71			Treno SW/0			Treno SW/2		
Qvk	1000	kN	qvk	133	kN/m	qvk	150	kN/m
qvk	80	kN/m	α	1.1		α	1	
α	1	Per V>120 km/h						
α	1.1	Per V<120 km/h						
Qtk	265	Per V>120 km/h						
	200	Per V<120 km/h						
Qtk scelto	265		qtk	18	Per V=100 km/h	qtk	19	Per V=100 km/h
qtk	21	Per V>120 km/h						
	16	Per V<120 km/h						
qtk scelto	21		L calc	19.7	m	L calc	25	m
L calc= L-6.4m	18.6	m	qtk*Lcalc	364	kN	qtk*Lcalc	473	kN
qtk*Lcalc	394	kN	FT= qtk*Lcalc /2	182		FT= qtk*Lcalc /2	237	
FT= (qtk*Lcalc + qtk)/2	329	kN						

 ITALFERR GRUPPO FERROVIE DELLO STATO ITALIANE	DIRETTRICE FERROVIARIA MESSINA - CATANIA - PALERMO NUOVO COLLEGAMENTO PALERMO - CATANIA PROGETTO DEFINITIVO VI06 - Viadotto ferroviario a Singolo Binario					
	RELAZIONE DI CALCOLO PILA	COMMESSA RS3E	LOTTO 50	CODIFICA D 09 CL	DOCUMENTO VI 06 05 001	REV. A

4.6.7 Azione sismica

Nel seguente paragrafo è riportata la valutazione dei parametri di pericolosità sismica utili alla determinazione delle azioni sismiche di progetto dell'opera cui si riferisce il presente documento, in accordo a quanto specificato a riguardo dal D.M. 14 gennaio 2008 e relativa circolare applicativa.

➤ Valori di progetto

La pericolosità sismica di base è stata definita sulla base delle coordinate geografiche del sito di realizzazione dell'opera:

FASE 1. INDIVIDUAZIONE DELLA PERICOLOSITÀ DEL SITO

Ricerca per coordinate
 LONGITUDINE:
LATITUDINE:

Ricerca per comune
 REGIONE:
PROVINCIA:
COMUNE:

Elaborazioni grafiche

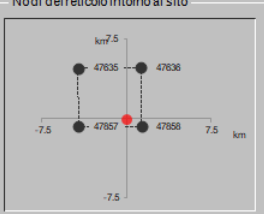
Grafici spettri di risposta

Variabilità dei parametri

Elaborazioni numeriche

Tabella parametri

Nodi del reticolo intorno al sito



Reticolo di riferimento



Sito esterno al reticolo
 Interpolazione su 3 nodi
 Interpolazione corretta

Interpolazione:

La "Ricerca per comune" utilizza le coordinate ISTAT del comune per identificare il sito. Si sottolinea che all'interno del territorio comunale le azioni sismiche possono essere significativamente diverse da quelle così individuate e si consiglia, quindi, la "Ricerca per coordinate".

I parametri utilizzati per la definizione dell'azione sismica sono riportati di seguito.

FASE 2. SCELTA DELLA STRATEGIA DI PROGETTAZIONE

Vita nominale della costruzione (in anni) - V_{n1} info

Coefficiente d'uso della costruzione - c_u info

Valori di progetto

Periodo di riferimento per la costruzione (in anni) - V_R info

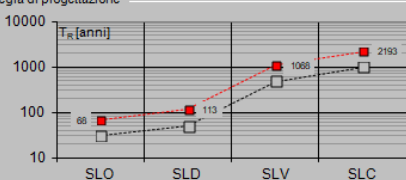
Periodi di ritorno per la definizione dell'azione sismica (in anni) - T_R info

Stati limite di esercizio - SLE	SLO - $P_{VR} = 81\%$	<input type="text" value="68"/>
	SLD - $P_{VR} = 63\%$	<input type="text" value="113"/>
Stati limite ultimi - SLU	SLV - $P_{VR} = 10\%$	<input type="text" value="1068"/>
	SLC - $P_{VR} = 5\%$	<input type="text" value="2193"/>

Elaborazioni

- Grafici parametri azione
- Grafici spettri di risposta
- Tabella parametrizzazione

Strategia di progettazione



LEGENDA GRAFICO

- Strategia per costruzioni ordinarie
- - - Strategia scelta

INTRO FASE 1 **FASE 2** FASE 3

L'azione sismica è stata calcolata per mezzo del foglio di calcolo Spettri-NTCver.1.0.3 messo a disposizione dal Consiglio Superiore dei Lavori Pubblici.

Di seguito si riportano gli spettri di risposta orizzontale e verticale allo Stato limite di salvaguardia della vita SLV utilizzati per il calcolo dell'azione sismica.

FASE 3. DETERMINAZIONE DELL'AZIONE DI PROGETTO

Stato Limite

Stato Limite considerato **SLV** info

Risposta sismica locale

Categoria di sottosuolo **C** info $S_S = 1.472$ $C_C = 1.287$ info

Categoria topografica **T1** info $h/H = 1.000$ $S_T = 1.000$ info
(in quota sito, H=altezza rilievo topografico)

Compon. orizzontale

Spettro di progetto elastico (SLE) Smorzamento ξ (%) $\eta = 1.000$ info

Spettro di progetto inelastico (SLU) Fattore q_b Regol. in altezza **si** info

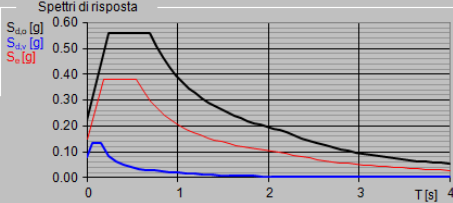
Compon. verticale

Spettro di progetto Fattore q $\eta = 0.667$ info

Elaborazioni

- Grafici spettri di risposta
- Parametri e punti spettri di risposta

Spettri di risposta



— Spettro di progetto - componente orizzontale

— Spettro di progetto - componente verticale

— Spettro elastico di riferimento (Cat. A-T1, $\xi = 5\%$)

INTRO FASE 1 FASE 2 **FASE 3**

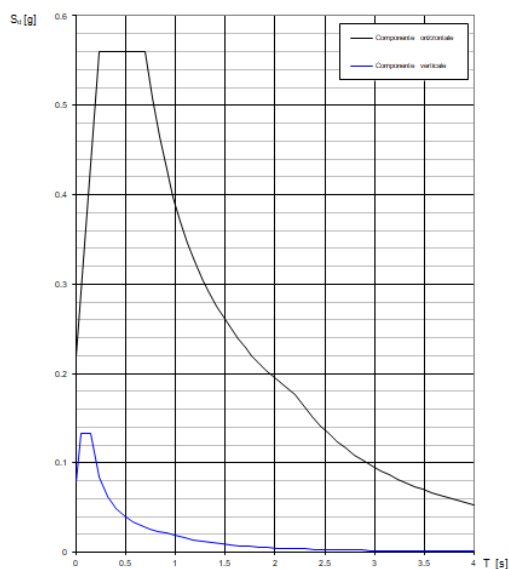
Spettri di risposta (componenti orizz. e vert.) per lo stato lim SLV

Parametri indipendenti

STATO LIMITE	SLV
a_n	0.150 g
F_n	2.543
T_c^*	0.540 s
S_s	1.472
C_c	1.287
S_T	1.000
q	1.000

Parametri dipendenti

S	1.472
η	1.000
T_R	0.232 s
T_c	0.695 s
T_D	2.199 s



➤ Calcolo dell'azione Sismica

Per il calcolo delle azioni sismiche si utilizza una Analisi Statica Lineare, come riportata nel cap. 7.9.4.1 delle Normative. Qualora le ipotesi non siano soddisfatte, per il calcolo dei periodi propri della pila, si è fatto riferimento ad una Analisi Dinamica Modale, attraverso la costruzione di un modello tridimensionale agli Elementi Finiti semplificato.

I Fattori di struttura utilizzati sono:

- $q= 1.5$ per la verifica a presso flessione della pila
- $q= 1.5/1.1$ per la verifica a capacità portante verticale dei pali e verifica del plinto
- $q= 1$ per le verifiche a taglio degli elementi strutturali (vedi anche punto successivo), verifiche a capacità portante orizzontale dei pali.
- Solo per la verifica a taglio dello spiccato della pila, il criterio adottato è quello della gerarchia delle resistenze, così come indicato al punto 7.9.5 delle NTC

Condizione Sismica			
Massa sismica impalcato dir x	mix	7952	kN
Massa efficace pila dir x	mpx	2989	kN
Massa complessiva dir x	mix + mpx	10941	kN
1/5 Massa sismica impalcato dir x	mix/5	1590	kN
Verifica requisito dir x		no	
Massa sismica impalcato dir. y	mi _y	7726	kN
Massa efficace pila dir. Y	mp _y	2989	kN
Massa complessiva dir. Y	mi _y + mp _y	10715	kN
1/5 Massa sismica impalcato dir. Y	mi _y /5	1545	kN
Verifica requisito dir. Y		no	
Massa sismica impalcato dir. z	mi _z	7726	kN
Massa efficace pila dir. Z	mp _z	2989	kN
Massa complessiva dir. Z	mi _z + mp _z	10715	kN
1/5 Massa sismica impalcato dir. Z	mi _z /5	1545	kN
Verifica requisito dir. Z		no	

Inerzia Pila asse y	J _{yy}	7.4	m ⁴
Inerzia Pila asse x	J _{xx}	7.4	m ⁴
Area Pila	A _p	9.62	m ²
Rigidità Pila asse y	K _y	339709850.2	N/m
Rigidità Pila asse x	K _x	339709850.2	N/m
rigidezza Pila asse z	K _z	30528577649	N/m
Periodo x	T _x	0.36	s
Periodo y	T _y	0.35	s
Periodo z	T _z	0.04	s

Accelerazione orizzontale Se(Tx) direzione x	a _g x	0.56	
Accelerazione orizzontale Se(Ty) direzione y	a _g y	0.56	
Accelerazione Verticale Se(Tz) direzione z	a _g z	0.11	
q=1.5			
Accelerazione orizzontale Sd(Tx) direzione x	a _g x	0.37	
Accelerazione orizzontale Sd(Ty) direzione y	a _g y	0.37	
Accelerazione Verticale Sd(Tz) direzione z	a _g z	0.11	
q=1.36			
Accelerazione orizzontale Sd(Tx) direzione x	a _g x	0.41	
Accelerazione orizzontale Sd(Ty) direzione y	a _g y	0.41	
Accelerazione Verticale Sd(Tz) direzione z	a _g z	0.11	
q=1			
Accelerazione orizzontale Sd(Tx) direzione x	a _g x	0.6	
Accelerazione orizzontale Sd(Ty) direzione y	a _g y	0.6	
Accelerazione Verticale Sd(Tz) direzione z	a _g z	0.1104	

Condizione Sismica - Taglianti Totali			
q=1.5			
Tagliante direzione x	F x	4091	kN
Tagliante direzione y	F y	4006	kN
Tagliante direzione z	F z	1183	kN
q=1.36			
Tagliante direzione x	F x	4512	kN
Tagliante direzione y	F y	4419	kN
Tagliante direzione z	F z	1183	kN
q=1			
Tagliante direzione x	F x	6136	kN
Tagliante direzione y	F y	6009	kN
Tagliante direzione z	F z	1183	kN

	DIRETTRICE FERROVIARIA MESSINA - CATANIA - PALERMO NUOVO COLLEGAMENTO PALERMO - CATANIA PROGETTO DEFINITIVO VI06 - Viadotto ferroviario a Singolo Binario					
	RELAZIONE DI CALCOLO PILA	COMMESSA RS3E	LOTTO 50	CODIFICA D 09 CL	DOCUMENTO VI 06 05 001	REV. A

4.6.8 Calcolo delle sollecitazioni in testa pali

Le sollecitazioni agenti in testa palo vengono calcolate nell'ipotesi di platea di fondazione infinitamente rigida, attraverso la relazione

$$R(x, y) = \frac{N}{n} + \frac{M_l}{J_l} \cdot y + \frac{M_t}{J_t} \cdot x$$

dove

N, M_l, M_t sono lo sforzo normale e i momenti flettenti longitudinale e trasversale agenti al baricentro della palificata, n è il numero di pali e J_l, J_t sono le inerzie longitudinale e trasversale della palificata

$$J_l = \sum y_i^2 \qquad J_t = \sum x_i^2$$

Per quanto riguarda le sollecitazioni orizzontali in testa palo, si assume che le azioni di taglio di ripartiscano uniformemente tra i pali, risultando

$$T(x, y) = \frac{\sqrt{H_l^2 + H_t^2}}{n}$$

dove H_l, H_t sono le forze orizzontali longitudinale e trasversale agenti al baricentro della palificata.

4.6.9 Riepilogo risultati

Il foglio automatico, sulla base di calcoli sviluppati nei fogli successivi, restituisce, per ciascuna combinazione i risultati del controllo di verifica.

Per ciascuna combinazione vengono riassunti:

- Le sollecitazioni al livello del piano di fondazione in termini di sforzo normale N , forza orizzontale T e momento ribaltante M .
- Per i carichi sui pali in termini di N_{\max}, N_{\min}, T ed M .

RELAZIONE DI CALCOLO PILA

COMMESSA	LOTTO	CODIFICA	DOCUMENTO	REV.	FOGLIO
RS3E	50	D 09 CL	VI 06 05 001	A	30 di 52

SPICCATO PILA: condizione statica

Descrizione carico	F _Z	F _X	F _Y	b _{ix}	b _{iy}	b _{iz}	M _x	M _y
	[kN]	[kN]	[kN]	[m]	[m]	[m]	[kNm]	[kNm]
Pila	4304			0.00	0.00	0	0	0
Vento su pila dir. x		93		0.00	0.00	10.40	0	963
Vento su pila dir.y			66.9	0.00	0.00	10.40	695	0

INTRADOSSO FONDAZIONE: condizione statica

Descrizione carico	F _Z	F _X	F _Y	b _{ix}	b _{iy}	b _{iz}	M _x	M _y
	[kN]	[kN]	[kN]	[m]	[m]	[m]	[kNm]	[kNm]
Pila	4304			0.00	0.00	0	0	0
Plinto	6912			0.00	0.00	1.50	0.00	0
Rinterro	1598			0.00	0.00	0.00	0.00	0
Vento su pila dir. x		93		0.00	0.00	13.40	0	1241
Vento su pila dir.y			66.9	0.00	0.00	13.40	896	0

INTRADOSSO FONDAZIONE: condizione sismica

Descrizione carico	F _Z	F _X	F _Y	b _{ix}	b _{iy}	b _{iz}	M _x	M _y
	[kN]	[kN]	[kN]	[m]	[m]	[m]	[kNm]	[kNm]
Plinto sisma x		1526		0.00	0.00	1.50	0.00	2289
Plinto sisma y			1526	0.00	0.00	1.50	2289	0
Plinto sisma z	763			0.00	0.00	1.50	0	0
Rinterro sisma z	176			0.00	0.00	0.00	0	0

4.7 Sollecitazioni

CARATTERISTICHE DELLA SOLLECITAZIONE INTERNA ALLA BASE DELLA PILA						
	Nz	Tx	Ty	Mx	My	
A2 - SLU - N max gr.1	16478	905	1495	21387	13319	
A2 - SLU - MT max gr.1	16349	905	1725	25041	11625	
A2 - SLU - ML max gr.1	15072	977	717	9771	15758	
A2 - SLU - N max gr.3	16478	1452	1166	16199	21066	
A2 - SLU - MT max gr.3	16349	1452	1281	18020	19373	
A2 - SLU - ML max gr.3	15072	1525	537	6957	23505	
A2 - SLU - Vento ponte scarico	12254	212	642	8055	2295	
A2 - SLU Gmin - N max gr.1	12578	905	1495	21387	13319	
A2 - SLU Gmin - MT max gr.1	12449	905	1725	25041	11625	
A2 - SLU Gmin - ML max gr.1	11172	977	717	9771	15758	
A2 - SLU Gmin - N max gr.3	12578	1452	1166	16199	21066	
A2 - SLU Gmin - MT max gr.3	12449	1452	1281	18020	19373	
A2 - SLU Gmin - ML max gr.3	11172	1525	537	6957	23505	
A2 - SLU Gmin - Vento ponte scarico	8354	212	642	8055	2295	
A1 - SLU - N max gr.1	20678	1090	1771	25203	15886	
A1 - SLU - MT max gr.1	20529	1090	2038	29443	13922	
A1 - SLU - ML max gr.1	19047	1173	872	11771	18711	
A1 - SLU - N max gr.3	20678	1726	1390	19186	24885	
A1 - SLU - MT max gr.3	20529	1726	1523	21298	22921	
A1 - SLU - ML max gr.3	19047	1809	664	8506	27710	
A1 - SLU - Vento ponte scarico	15778	286	782	9744	3098	
A1 - SLU Gmin - N max gr.1	13254	1090	1771	25203	15886	
A1 - SLU Gmin - MT max gr.1	13105	1090	2038	29443	13922	
A1 - SLU Gmin - ML max gr.1	11623	1173	872	11771	18711	
A1 - SLU Gmin - N max gr.3	13254	1726	1390	19186	24885	
A1 - SLU Gmin - MT max gr.3	13105	1726	1523	21298	22921	
A1 - SLU Gmin - ML max gr.3	11623	1809	664	8506	27710	
A1 - SLU Gmin - Vento ponte scarico	8354	212	708	8941	2295	
SLE rara - N max gr.1	14733	766	1223	17361	11114	
SLE rara - MT max gr.1	14630	766	1407	20285	9759	
SLE rara - ML max gr.1	13608	822	616	8276	13042	
SLE rara - N max gr.3	14733	1204	960	13211	17312	
SLE rara - MT max gr.3	14630	1204	1052	14668	15957	
SLE rara - ML max gr.3	13608	1260	472	6024	19240	
SLE rara - Vento ponte scarico	11354	212	542	6726	2295	
SLE freq. - N max gr.1	14058	655	726	10200	9350	
SLE freq. - MT max gr.1	13975	655	873	12539	8266	
SLE freq. - ML max gr.1	13158	655	535	7080	10430	
SLE freq. - N max gr.3	14058	1006	515	6880	14308	
SLE freq. - MT max gr.3	13975	1006	589	8045	13225	
SLE freq. - ML max gr.3	13158	1006	420	5278	15388	
SLE freq. - Vento ponte scarico	11354	212	344	4163	2295	
SLE quasi permanente	11354	212	212	2295	2295	
q = 1,5	SLV - N max	13214	1532	1437	19176	20539
q = 1,5	SLV - MT max gr.1	12365	1532	4279	57215	20268
q = 1,5	SLV - ML max gr.1	12160	4396	1389	18396	59049
q = 1,5	SLV - MT max gr.3	11654	1532	4279	57215	20268
q = 1,5	SLV - ML max gr.3	11450	4396	1389	18396	59049
q = 1,5	SLV - N min	10846	1532	1437	19176	20539
q = 1,36	SLV - N max	13214	1658	1560	20807	22226
q = 1,36	SLV - MT max gr.1	12365	1658	4692	62693	21955
q = 1,36	SLV - ML max gr.1	12160	4818	1513	20048	64672
q = 1,36	SLV - MT max gr.3	11654	1658	4692	62693	21955
q = 1,36	SLV - ML max gr.3	11450	4818	1513	20048	64672
q = 1,36	SLV - N min	10846	1658	1560	20807	22226
q = 1	SLV - N max	13214	2146	2038	27202	28733
q = 1	SLV - MT max gr.1	12365	2146	6283	83969	28463
q = 1	SLV - ML max gr.1	12160	6442	1990	26422	86363
q = 1	SLV - MT max gr.3	11654	2146	6283	83969	28463
q = 1	SLV - ML max gr.3	11450	6442	1990	26422	86363
q = 1	SLV - N min	10846	2146	2038	27202	28733

Tabella 3 – Sollecitazioni della base della pila

4.7.1 Plinto di fondazione

Nella tabella che segue sono indicati la risultante e momento risultante rispetto al baricentro del plinto di fondazione.

CARATTERISTICHE DELLA SOLLECITAZIONE INTERNA INTRADOSO FONDAZIONE					
	Nz	Tx	Ty	Mx	My
A2 - SLU - N max gr.1	25468	905	1495	25870	16034
A2 - SLU - MT max gr.1	25339	905	1725	30215	14340
A2 - SLU - ML max gr.1	24061	977	717	11924	18689
A2 - SLU - N max gr.3	25468	1452	1166	19697	25423
A2 - SLU - MT max gr.3	25339	1452	1281	21862	23730
A2 - SLU - ML max gr.3	24061	1525	537	8569	28079
A2 - SLU - Vento ponte scarico	21244	212	642	9980	2929
A2 - SLU Gmin - N max gr.1	19490	905	1495	25870	16034
A2 - SLU Gmin - MT max gr.1	19361	905	1725	30215	14340
A2 - SLU Gmin - ML max gr.1	18084	977	717	11924	18689
A2 - SLU Gmin - N max gr.3	19490	1452	1166	19697	25423
A2 - SLU Gmin - MT max gr.3	19361	1452	1281	21862	23730
A2 - SLU Gmin - ML max gr.3	18084	1525	537	8569	28079
A2 - SLU Gmin - Vento ponte scarico	15266	212	642	9980	2929
A1 - SLU - N max gr.1	32406	1090	1771	30516	19156
A1 - SLU - MT max gr.1	32257	1090	2038	35556	17191
A1 - SLU - ML max gr.1	30775	1173	872	14388	22230
A1 - SLU - N max gr.3	32406	1726	1390	23354	30063
A1 - SLU - MT max gr.3	32257	1726	1523	25867	28098
A1 - SLU - ML max gr.3	30775	1809	664	10497	33137
A1 - SLU - Vento ponte scarico	27507	286	782	12090	3955
A1 - SLU Gmin - N max gr.1	20166	1090	1771	30516	19156
A1 - SLU Gmin - MT max gr.1	20017	1090	2038	35556	17191
A1 - SLU Gmin - ML max gr.1	18535	1173	872	14388	22230
A1 - SLU Gmin - N max gr.3	20166	1726	1390	23354	30063
A1 - SLU Gmin - MT max gr.3	20017	1726	1523	25867	28098
A1 - SLU Gmin - ML max gr.3	18535	1809	664	10497	33137
A1 - SLU Gmin - Vento ponte scarico	15266	212	708	11065	2929
SLE rara - N max gr.1	23244	766	1223	21030	13413
SLE rara - MT max gr.1	23141	766	1407	24506	12058
SLE rara - ML max gr.1	22119	822	616	10125	15508
SLE rara - N max gr.3	23244	1204	960	16091	20925
SLE rara - MT max gr.3	23141	1204	1052	17824	19570
SLE rara - ML max gr.3	22119	1260	472	7441	23019
SLE rara - Vento ponte scarico	19865	212	542	8353	2929
SLE freq. - N max gr.1	22568	655	726	12377	11316
SLE freq. - MT max gr.1	22485	655	873	15158	10232
SLE freq. - ML max gr.1	21668	655	535	8686	12396
SLE freq. - N max gr.3	22568	1006	515	8426	17326
SLE freq. - MT max gr.3	22485	1006	589	9812	16242
SLE freq. - ML max gr.3	21668	1006	420	6539	18406
SLE freq. - Vento ponte scarico	19865	212	344	5193	2929
SLE quasi permanente	19865	212	212	2929	2929
SLV - N max	22664	1990	1895	24173	25822
SLV - MT max gr.1	21157	1990	5805	72342	25551
SLV - ML max gr.1	20952	5922	1847	23250	74527
SLV - MT max gr.3	19883	1990	5805	72342	25551
SLV - ML max gr.3	19678	5922	1847	23250	74527
SLV - N min	18417	1990	1895	24173	25822
SLV - N max	22664	2116	2018	26176	27888
SLV - MT max gr.1	21157	2116	6218	79057	27617
SLV - ML max gr.1	20952	6344	1971	25274	81414
SLV - MT max gr.3	19883	2116	6218	79057	27617
SLV - ML max gr.3	19678	6344	1971	25274	81414
SLV - N min	18417	2116	2018	26176	27888
SLV - N max	22664	2604	2496	34002	35857
SLV - MT max gr.1	21157	2604	7809	105107	35586
SLV - ML max gr.1	20952	7968	2448	33079	107979
SLV - MT max gr.3	19883	2604	7809	105107	35586
SLV - ML max gr.3	19678	7968	2448	33079	107979
SLV - N min	18417	2604	2496	34002	35857

Tabella 4 – Sollecitazioni ad intradosso del baricentro fondazione

4.8 Pali di fondazione

Le sollecitazioni risultanti sono riportati nelle seguenti tabelle:

SOLL. TOTALI NEL BARICENTRO DELLA PALIFICATA								
C.C.	N	T _x	T _y	M _x	M _y	N _{max/palo}	N _{min/palo}	T _{/palo}
n°	kN	kN	kN	kNm	kNm	kN	kN	kN
Al - SLU - N max gr.1	32406	1090	1771	30516	19156	5900	1301	231
Al - SLU - MT max gr.1	32257	1090	2038	35556	17191	6026	1142	257
Al - SLU - ML max gr.1	30775	1173	872	14388	22230	5115	1724	162
Al - SLU - N max gr.3	32406	1726	1390	23354	30063	6074	1128	246
Al - SLU - MT max gr.3	32257	1726	1523	25867	28098	6082	1086	256
Al - SLU - ML max gr.3	30775	1809	664	10497	33137	5440	1399	214
Al - SLU - Vento ponte scarico	27507	286	782	12090	3955	3799	2314	92
Al - SLU Gmin - N max gr.1	20166	1090	1771	30516	19156	4540	-59	231
Al - SLU Gmin - MT max gr.1	20017	1090	2038	35556	17191	4666	-218	257
Al - SLU Gmin - ML max gr.1	18535	1173	872	14388	22230	3755	364	162
Al - SLU Gmin - N max gr.3	20166	1726	1390	23354	30063	4714	-232	246
Al - SLU Gmin - MT max gr.3	20017	1726	1523	25867	28098	4722	-274	256
Al - SLU Gmin - ML max gr.3	18535	1809	664	10497	33137	4079	39	214
Al - SLU Gmin - Vento ponte scarico	15266	212	708	11065	2929	2344	1048	82
						6082	-274	257

Tabella 5 – Sollecitazioni massime sul singolo palo C.C. SLU

SOLL. TOTALI NEL BARICENTRO DELLA PALIFICATA								
C.C.	N	T _x	T _y	M _x	M _y	N _{max/palo}	N _{min/palo}	T _{/palo}
n°	kN	kN	kN	kNm	kNm	kN	kN	kN
SLV - N max	22664	2116	2018	26176	27888	5021	15	325
SLV - MT max gr.1	21157	2116	6218	79057	27617	7289	-2588	730
SLV - ML max gr.1	20952	6344	1971	25274	81414	7267	-2611	738
SLV - MT max gr.3	19883	2116	6218	79057	27617	7148	-2729	730
SLV - ML max gr.3	19678	6344	1971	25274	81414	7126	-2753	738
SLV - N min	18417	2116	2018	26176	27888	4549	-457	325
						7289	-2753	738

Tabella 6 – Sollecitazioni massime sul singolo palo C.C. SLV q=1.36

SOLL. TOTALI NEL BARICENTRO DELLA PALIFICATA								
C.C.	N	T _x	T _y	M _x	M _y	N _{max/palo}	N _{min/palo}	T _{/palo}
n°	kN	kN	kN	kNm	kNm	kN	kN	kN
SLV - N max	22664	2604	2496	34002	35857	5752	-716	401
SLV - MT max gr.1	21157	2604	7809	105107	35586	8864	-4163	915
SLV - ML max gr.1	20952	7968	2448	33079	107979	8859	-4202	926
SLV - MT max gr.3	19883	2604	7809	105107	35586	8723	-4304	915
SLV - ML max gr.3	19678	7968	2448	33079	107979	8717	-4344	926
SLV - N min	18417	2604	2496	34002	35857	5281	-1188	401
						8864	-4344	926

Tabella 7 – Sollecitazioni massime sul singolo palo C.C. SLV q=1

SOLL. TOTALI NEL BARICENTRO DELLA PALIFICATA

C.C.	N	T _x	T _y	M _x	M _y	N _{max/palo}	N _{min/palo}	T _{palo}
n°	kN	kN	kN	kNm	kNm	kN	kN	kN
SLE rara - N max gr.1	23244	766	1223	21030	13413	4177	988	160
SLE rara - MT max gr.1	23141	766	1407	24506	12058	4264	878	178
SLE rara - ML max gr.1	22119	822	616	10125	15508	3644	1271	114
SLE rara - N max gr.3	23244	1204	960	16091	20925	4296	869	171
SLE rara - MT max gr.3	23141	1204	1052	17824	19570	4302	840	178
SLE rara - ML max gr.3	22119	1260	472	7441	23019	3868	1047	149
SLE rara - Vento ponte scarico	19865	212	542	8353	2929	2729	1685	65
						4302	840	178

Tabella 8 – Sollecitazioni massime sul singolo palo C.C. SLE

4.9 Verifiche degli elementi strutturali

Per tutti gli elementi strutturali della spalla (muro frontale, muro paraghiaia, ...) vengono svolte le seguenti verifiche:

- verifiche a rottura (pressoflessione e taglio) per le combinazioni allo stato limite ultimo (SLU).
- verifiche tensionali per le combinazioni rare, frequenti e quasi permanenti (SLE)
- verifiche a fessurazione per le combinazioni rara (SLE)

CARATTERISTICHE DELLA SOLLECITAZIONE INTERNA ALLA BASE DELLA PILA							
			Nz,A [kN]	Tx,A [kN]	Ty,A [kN]	Mxx [kNm]	Myy [kNm]
SLU GEO	Nz,A _{max}	A2 - SLU - N max gr.1	16478	905	1495	21387	13319
	Tx,A _{max}	A2 - SLU - ML max gr.3	15072	1525	537	6957	23505
	Ty,A _{max}	A2 - SLU - MT max gr.1	16349	905	1725	25041	11625
	Mxx _{max}	A2 - SLU - MT max gr.1	16349	905	1725	25041	11625
	Myy _{max}	A2 - SLU - ML max gr.3	15072	1525	537	6957	23505
SLU STR	Nz,A _{max}	A1 - SLU - N max gr.1	20678	1090	1771	25203	15886
	Tx,A _{max}	A1 - SLU - ML max gr.3	19047	1809	664	8506	27710
	Ty,A _{max}	A1 - SLU - MT max gr.1	20529	1090	2038	29443	13922
	Mxx _{max}	A1 - SLU - MT max gr.1	20529	1090	2038	29443	13922
	Myy _{max}	A1 - SLU - ML max gr.3	19047	1809	664	8506	27710
SLE RARA	Nz,A _{max}	SLE rara - N max gr.1	14733	766	1223	17361	11114
	Tx,A _{max}	SLE rara - ML max gr.3	13608	1260	472	6024	19240
	Ty,A _{max}	SLE rara - MT max gr.1	14630	766	1407	20285	9759
	Mxx _{max}	SLE rara - MT max gr.1	14630	766	1407	20285	9759
	Myy _{max}	SLE rara - ML max gr.3	13608	1260	472	6024	19240
SLE FREQUENTE	Nz,A _{max}	SLE freq.- N max gr.1	14058	655	726	10200	9350
	Tx,A _{max}	SLE freq.- N max gr.3	14058	1006	515	6880	14308
	Ty,A _{max}	SLE freq.- MT max gr.1	13975	655	873	12539	8266
	Mxx _{max}	SLE freq.- MT max gr.1	13975	655	873	12539	8266
	Myy _{max}	SLE freq.- ML max gr.3	13158	1006	420	5278	15388
SLE Q.P.		SLE quasi permanente	11354	212	212	2295	2295
SLV q=1.5	Nz,A _{max}	SLV - N max	13214	1532	1437	19176	20539
	Tx,A _{max}	SLV - ML max gr.1	12160	4396	1389	18396	59049
	Ty,A _{max}	SLV - MT max gr.1	12365	1532	4279	57215	20268
	Mxx _{max}	SLV - MT max gr.1	12365	1532	4279	57215	20268
	Myy _{max}	SLV - ML max gr.1	12160	4396	1389	18396	59049
SLV q=1.36	Nz,A _{max}	SLV - N max	13214	1658	1560	20807	22226
	Tx,A _{max}	SLV - ML max gr.1	12160	4818	1513	20048	64672
	Ty,A _{max}	SLV - MT max gr.1	12365	1658	4692	62693	21955
	Mxx _{max}	SLV - MT max gr.1	12365	1658	4692	62693	21955
	Myy _{max}	SLV - ML max gr.3	11450	4818	1513	20048	64672
SLV q=1	Nz,A _{max}	SLV - N max	13214	2146	2038	27202	28733
	Tx,A _{max}	SLV - ML max gr.1	12160	6442	1990	26422	86363
	Ty,A _{max}	SLV - MT max gr.1	12365	2146	6283	83969	28463
	Mxx _{max}	SLV - MT max gr.1	12365	2146	6283	83969	28463
	Myy _{max}	SLV - ML max gr.1	12160	6442	1990	26422	86363

CARATTERISTICHE DELLA SOLLECITAZIONE INTERNA INTRADOSSO FONDAZIONE							
			Nz,A [kN]	Tx,A [kN]	Ty,A [kN]	Mxx [kNm]	Myy [kNm]
SLU GEO	Nz,A _{max}	A2 - SLU - N max gr.1	25468	905	1495	25870	16034
	Tx,A _{max}	A2 - SLU - ML max gr.3	24061	1525	537	8569	28079
	Ty,A _{max}	A2 - SLU - MT max gr.1	25339	905	1725	30215	14340
	Mxx _{max}	A2 - SLU - MT max gr.1	25339	905	1725	30215	14340
	Myy _{max}	A2 - SLU - ML max gr.3	24061	1525	537	8569	28079
SLU STR	Nz,A _{max}	A1 - SLU - N max gr.1	32406	1090	1771	30516	19156
	Tx,A _{max}	A1 - SLU - ML max gr.3	30775	1809	664	10497	33137
	Ty,A _{max}	A1 - SLU - MT max gr.1	32257	1090	2038	35556	17191
	Mxx _{max}	A1 - SLU - MT max gr.1	32257	1090	2038	35556	17191
	Myy _{max}	A1 - SLU - ML max gr.3	30775	1809	664	10497	33137
SLE RARA	Nz,A _{max}	SLE rara - N max gr.1	23244	766	1223	21030	13413
	Tx,A _{max}	SLE rara - ML max gr.3	22119	1260	472	7441	23019
	Ty,A _{max}	SLE rara - MT max gr.1	23141	766	1407	24506	12058
	Mxx _{max}	SLE rara - MT max gr.1	23141	766	1407	24506	12058
	Myy _{max}	SLE rara - ML max gr.3	22119	1260	472	7441	23019
SLE FREQUENTE	Nz,A _{max}	SLE freq.- N max gr.1	22568	655	726	12377	11316
	Tx,A _{max}	SLE freq.- N max gr.3	22568	1006	515	8426	17326
	Ty,A _{max}	SLE freq.- MT max gr.1	22485	655	873	15158	10232
	Mxx _{max}	SLE freq.- MT max gr.1	22485	655	873	15158	10232
	Myy _{max}	SLE freq.- ML max gr.3	21668	1006	420	6539	18406
SLE Q.P.		SLE quasi permanente	19865	212	212	2929	2929
SLV q=1.5	Nz,A _{max}	SLV - N max	22664	1990	1895	24173	25822
	Tx,A _{max}	SLV - ML max gr.1	20952	5922	1847	23250	74527
	Ty,A _{max}	SLV - MT max gr.1	21157	1990	5805	72342	25551
	Mxx _{max}	SLV - MT max gr.1	21157	1990	5805	72342	25551
	Myy _{max}	SLV - ML max gr.1	20952	5922	1847	23250	74527
SLV q=1.36	Nz,A _{max}	SLV - N max	22664	2116	2018	26176	27888
	Tx,A _{max}	SLV - ML max gr.1	20952	6344	1971	25274	81414
	Ty,A _{max}	SLV - MT max gr.1	21157	2116	6218	79057	27617
	Mxx _{max}	SLV - MT max gr.1	21157	2116	6218	79057	27617
	Myy _{max}	SLV - ML max gr.1	20952	6344	1971	25274	81414
SLV q=1	Nz,A _{max}	SLV - N max	22664	2604	2496	34002	35857
	Tx,A _{max}	SLV - ML max gr.1	20952	7968	2448	33079	107979
	Ty,A _{max}	SLV - MT max gr.1	21157	2604	7809	105107	35586
	Mxx _{max}	SLV - MT max gr.1	21157	2604	7809	105107	35586
	Myy _{max}	SLV - ML max gr.1	20952	7968	2448	33079	107979

RELAZIONE DI CALCOLO PILA

COMMESSA	LOTTO	CODIFICA	DOCUMENTO	REV.	FOGLIO
RS3E	50	D 09 CL	VI 06 05 001	A	37 di 52

4.9.1 Pila

Taglio di progetto:

Direzione		Long.(Myy,Tx)	Trasv.(Mxx,Ty)	
Altezza pila	H	13.4	13.4	m
Fattore di struttura		1.5	1.5	
Fattore di sovrarresistenza (eq. 7.9.7)	γ_{Rd}	1	1	
Fattore di sovrarresistenza filtrato (eq. 7.9.7)	γ_{Rd}	1	1	
Taglio agente (q=1)	V	6442	6283	kN
Momento agente (q=1)	M	86363	83969	kN*m
Taglio agente (con q)	VEd	4396	4279	kN
Momento agente (con q)	MEd	59049	57215	kN*m
Momento Resistente	MRd	69061	68365	kN*m
Rapporto di sovrarresistenza	MRd/MEd	1.17	1.19	
Tipo sezione (EC8-2; eq. 6.11)		CRITICA	CRITICA	
Angolo inclinazione bielle compresse	Teta	45	45	
Limite superiore Vgr	Vgr.max= V	6442	6283	kN
Taglio di progetto per la gerarchia della resistenza (eq. 7.9.12)	Vgr	5142	5113	kN
Taglio di progetto per la gerarchia della resistenza filtrato (eq. 7.9.12)	Vgr	5142	5113	kN
fattore di sicurezza aggiuntivo per la resistenza a taglio (eq. 7.9.10)	γ_{Bd}	1	0.99	
fattore di sicurezza aggiuntivo per la resistenza a taglio filtrato (eq. 7.9.10)	γ_{Bd}	1	1.00	
Riassumendo				
Taglio di calcolo	Vgr	5142	5113	kN
fattore di sicurezza aggiuntivo filtrato (eq. 7.9.10)	γ_{Bd}	1.00	1.00	
Angolo inclinazione bielle compresse	Teta	45	45	

CARATTERISTICHE DI RESISTENZA DEI MATERIALI IMPIEGATI

CALCESTRUZZO -	Classe:	C32/40	
	Resis. compr. di progetto fcd:	18.800	MPa
	Resis. compr. ridotta fcd':	9.400	MPa
	Def.unit. max resistenza ec2:	0.0020	
	Def.unit. ultima ecu:	0.0035	
	Diagramma tensione-deformaz.:	Parabola-Rettangolo	
	Modulo Elastico Normale Ec:	33643.0	MPa
	Resis. media a trazione fctm:	3.100	MPa
	Coeff. Omogen. S.L.E.:	15.00	
	Coeff. Omogen. S.L.E.:	15.00	
	Sc limite S.L.E. comb. Frequenti:	182.60	daN/cm ²
	Ap.Fessure limite S.L.E. comb. Frequenti:	0.200	mm
	Sc limite S.L.E. comb. Q.Permanenti:	0.00	Mpa
	Ap.Fess.limite S.L.E. comb. Q.Perm.:	0.200	mm
	ACCIAIO -	Tipo:	B450C
Resist. caratt. snervam. fyk:		450.00	MPa
Resist. caratt. rottura ftk:		450.00	MPa
Resist. snerv. di progetto fyd:		391.30	MPa
Resist. ultima di progetto ftd:		391.30	MPa
Deform. ultima di progetto Epu:		0.068	
Modulo Elastico Ef		2000000	daN/cm ²
Diagramma tensione-deformaz.:		Bilineare finito	
Coeff. Aderenza istantaneo $\beta_1 \cdot \beta_2$:		1.00	
Coeff. Aderenza differito $\beta_1 \cdot \beta_2$:		0.50	
Sf limite S.L.E. Comb. Rare:	337.50	MPa	

RELAZIONE DI CALCOLO PILA

COMMESSA	LOTTO	CODIFICA	DOCUMENTO	REV.	FOGLIO
RS3E	50	D 09 CL	VI 06 05 001	A	38 di 52

CARATTERISTICHE DOMINIO CONGLOMERATO

Forma del Dominio: Circolare
Classe Conglomerato: C32/40

Raggio circ.: 175.0 cm
X centro circ.: 0.0 cm
Y centro circ.: 0.0 cm

DATI GENERAZIONI CIRCOLARI DI BARRE

N°Gen. Numero assegnato alla singola generazione circolare di barre
Xcentro Ascissa [cm] del centro della circonfer. lungo cui sono disposte le barre generate
Ycentro Ordinata [cm] del centro della circonfer. lungo cui sono disposte le barre generate
Raggio Raggio [cm] della circonferenza lungo cui sono disposte le barre generate
N°Barre Numero di barre generate equidist. disposte lungo la circonferenza
Ø Diametro [mm] della singola barra generata

N°Gen.	Xcentro	Ycentro	Raggio	N°Barre	Ø
1	0.0	0.0	160.0	80	30
2	0.0	0.0	150.0	80	30

ARMATURE A TAGLIO

Diametro staffe: 10 mm
Passo staffe: 3.2 cm
Staffe: Una sola staffa chiusa perimetrale

CALCOLO DI RESISTENZA - SFORZI PER OGNI COMBINAZIONE ASSEGNATA

N Sforzo normale [kN] applicato nel Baric. (+ se di compressione)
Mx Momento flettente [kNm] intorno all'asse x princ. d'inerzia con verso positivo se tale da comprimere il lembo sup. della sez.
My Momento flettente [kNm] intorno all'asse y princ. d'inerzia con verso positivo se tale da comprimere il lembo destro della sez.
Vy Componente del Taglio [kN] parallela all'asse princ.d'inerzia y
Vx Componente del Taglio [kN] parallela all'asse princ.d'inerzia x

N°Comb.	N	Mx	My	Vy	Vx
1	20678.00	15886.00	25203.00	0.00	0.00
2	19047.00	27710.00	8506.00	0.00	0.00
3	20529.00	13922.00	29443.00	0.00	0.00
4	20529.00	13922.00	29443.00	0.00	0.00
5	19047.00	27710.00	8506.00	0.00	0.00
6	13214.00	20539.00	19176.00	0.00	0.00
7	12160.00	59049.00	18396.00	5142.00	0.00
8	12365.00	20268.00	57215.00	0.00	5113.00
9	12365.00	20268.00	57215.00	0.00	0.00
10	12160.00	59049.00	18396.00	0.00	0.00

COMB. RARE (S.L.E.) - SFORZI PER OGNI COMBINAZIONE ASSEGNATA

N Sforzo normale [kN] applicato nel Baricentro (+ se di compressione)
Mx Momento flettente [kNm] intorno all'asse x princ. d'inerzia (tra parentesi Mom.Fessurazione)

RELAZIONE DI CALCOLO PILA

COMMESSA	LOTTO	CODIFICA	DOCUMENTO	REV.	FOGLIO
RS3E	50	D 09 CL	VI 06 05 001	A	39 di 52

My con verso positivo se tale da comprimere il lembo superiore della sezione
Momento flettente [kNm] intorno all'asse y princ. d'inerzia (tra parentesi Mom.Fessurazione)
con verso positivo se tale da comprimere il lembo destro della sezione

N° Comb.	N	Mx	My
1	14733.00	17361.00	11114.00
2	13608.00	6024.00	19240.00
3	14630.00	20285.00	9759.00
4	14630.00	20285.00	9759.00
5	13608.00	6024.00	19240.00

COMB. FREQUENTI (S.L.E.) - SFORZI PER OGNI COMBINAZIONE ASSEGNATA

N Sforzo normale [kN] applicato nel Baricentro (+ se di compressione)
Mx Momento flettente [kNm] intorno all'asse x princ. d'inerzia (tra parentesi Mom.Fessurazione)
con verso positivo se tale da comprimere il lembo superiore della sezione
My Momento flettente [kNm] intorno all'asse y princ. d'inerzia (tra parentesi Mom.Fessurazione)
con verso positivo se tale da comprimere il lembo destro della sezione

N° Comb.	N	Mx	My
1	14058.00	10200.00 (23735.00)	9350.00 (21757.08)
2	14058.00	6880.00 (12460.88)	14308.00 (25914.28)
3	13975.00	12539.00 (24927.68)	8266.00 (16432.90)
4	13975.00	12539.00 (24927.68)	8266.00 (16432.90)
5	13158.00	5278.00 (8777.72)	15388.00 (25591.42)

COMB. QUASI PERMANENTI (S.L.E.) - SFORZI PER OGNI COMBINAZIONE ASSEGNATA

N Sforzo normale [kN] applicato nel Baricentro (+ se di compressione)
Mx Momento flettente [kNm] intorno all'asse x princ. d'inerzia (tra parentesi Mom.Fessurazione)
con verso positivo se tale da comprimere il lembo superiore della sezione
My Momento flettente [kNm] intorno all'asse y princ. d'inerzia (tra parentesi Mom.Fessurazione)
con verso positivo se tale da comprimere il lembo destro della sezione

N° Comb.	N	Mx	My
1	11354.00	2295.00 (0.00)	2295.00 (0.00)

RISULTATI DEL CALCOLO

Sezione verificata per tutte le combinazioni assegnate

Copriferro netto minimo barre longitudinali:	13.5 cm
Interferro netto minimo barre longitudinali:	7.0 cm
Copriferro netto minimo staffe:	12.5 cm

VERIFICHE DI RESISTENZA IN PRESSO-TENSO FLESSIONE ALLO STATO LIMITE ULTIMO

Ver	S = combinazione verificata / N = combin. non verificata
N	Sforzo normale assegnato [kN] nel baricentro B sezione cls.(positivo se di compressione)
Mx	Componente del momento assegnato [kNm] riferito all'asse x princ. d'inerzia
My	Componente del momento assegnato [kNm] riferito all'asse y princ. d'inerzia
N Res	Sforzo normale resistente [kN] nel baricentro B sezione cls.(positivo se di compress.)
Mx Res	Momento flettente resistente [kNm] riferito all'asse x princ. d'inerzia
My Res	Momento flettente resistente [kNm] riferito all'asse y princ. d'inerzia
Mis.Sic.	Misura sicurezza = rapporto vettoriale tra (N r,Mx Res,My Res) e (N,Mx,My)

RELAZIONE DI CALCOLO PILA

COMMESSA	LOTTO	CODIFICA	DOCUMENTO	REV.	FOGLIO
RS3E	50	D 09 CL	VI 06 05 001	A	40 di 52

As Totale Verifica positiva se tale rapporto risulta ≥ 1.000
Area totale barre longitudinali [cm²]. [Tra parentesi il valore minimo di normativa]

N°Comb	Ver	N	Mx	My	N Res	Mx Res	My Res	Mis.Sic.	As Totale
1	S	20678.00	15886.00	25203.00	20678.03	42448.85	67322.15	2.671131.0(288.6)	
2	S	19047.00	27710.00	8506.00	19047.24	74823.24	22984.84	2.701131.0(288.6)	
3	S	20529.00	13922.00	29443.00	20528.89	33962.89	71834.20	2.441131.0(288.6)	
4	S	20529.00	13922.00	29443.00	20528.89	33962.89	71834.20	2.441131.0(288.6)	
5	S	19047.00	27710.00	8506.00	19047.24	74823.24	22984.84	2.701131.0(288.6)	
6	S	13214.00	20539.00	19176.00	13214.27	53565.36	50024.56	2.611131.0(288.6)	
7	S	12160.00	59049.00	18396.00	12159.72	69061.75	21512.29	1.171131.0(288.6)	
8	S	12365.00	20268.00	57215.00	12365.11	24216.48	68365.56	1.191131.0(288.6)	
9	S	12365.00	20268.00	57215.00	12365.11	24216.48	68365.56	1.191131.0(288.6)	
10	S	12160.00	59049.00	18396.00	12159.72	69061.75	21512.29	1.171131.0(288.6)	

METODO AGLI STATI LIMITE ULTIMI - DEFORMAZIONI UNITARIE ALLO STATO ULTIMO

ec max Deform. unit. massima del conglomerato a compressione
Deform. unit. massima del conglomerato a compressione
Xc max Ascissa in cm della fibra corrisp. a ec max (sistema rif. X,Y,O sez.)
Yc max Ordinata in cm della fibra corrisp. a ec max (sistema rif. X,Y,O sez.)
es min Deform. unit. minima nell'acciaio (negativa se di trazione)
Xs min Ascissa in cm della barra corrisp. a es min (sistema rif. X,Y,O sez.)
Ys min Ordinata in cm della barra corrisp. a es min (sistema rif. X,Y,O sez.)
es max Deform. unit. massima nell'acciaio (positiva se di compress.)
Xs max Ascissa in cm della barra corrisp. a es max (sistema rif. X,Y,O sez.)
Ys max Ordinata in cm della barra corrisp. a es max (sistema rif. X,Y,O sez.)

N°Comb	ec max	Xc max	Yc max	es min	Xs min	Ys min	es max	Xs max	Ys max
1	0.00350	148.0	123.7	0.00300	136.4	83.6	-0.00763	-136.4	-83.6
2	0.00350	51.4	75.8	0.00299	49.4	152.2	-0.00790	-49.4	-152.2
3	0.00350	158.2	146.1	0.00300	142.6	72.6	-0.00766	-142.6	-72.6
4	0.00350	158.2	146.1	0.00300	142.6	72.6	-0.00766	-142.6	-72.6
5	0.00350	51.4	56.8	0.00299	49.4	152.2	-0.00790	-49.4	-152.2
6	0.00350	119.4	127.9	0.00294	113.1	113.1	-0.00897	-113.1	-113.1
7	0.00350	52.1	167.1	0.00293	49.4	152.2	-0.00919	-49.4	-152.2
8	0.00350	165.0	58.4	0.00293	152.2	49.4	-0.00914	-152.2	-49.4
9	0.00350	165.0	58.4	0.00293	152.2	49.4	-0.00914	-152.2	-49.4
10	0.00350	52.1	167.1	0.00293	49.4	152.2	-0.00919	-49.4	-152.2

POSIZIONE ASSE NEUTRO PER OGNI COMB. DI RESISTENZA

a, b, c Coeff. a, b, c nell'eq. dell'asse neutro $aX+bY+c=0$ nel rif. X,Y,O gen.
x/d Rapp. di duttilità (travi e solette)[§ 4.1.2.1.2.1 NTC]: deve essere < 0.45
C.Rid. Coeff. di riduz. momenti per sola flessione in travi continue

N°Comb	a	b	c	x/d	C.Rid.
1	0.000028117	0.000017723	-0.002316326	----	----
2	0.000009985	0.000032529	-0.002454658	----	----
3	0.000030111	0.000014238	-0.002328886	----	----
4	0.000030111	0.000014238	-0.002328886	----	----
5	0.000009985	0.000032529	-0.002454658	----	----
6	0.000025402	0.000027207	-0.003013894	----	----
7	0.000011265	0.000036159	-0.003127865	----	----
8	0.000035571	0.000012601	-0.003103922	----	----
9	0.000035571	0.000012601	-0.003103922	----	----

RELAZIONE DI CALCOLO PILA

COMMESSA	LOTTO	CODIFICA	DOCUMENTO	REV.	FOGLIO
RS3E	50	D 09 CL	VI 06 05 001	A	41 di 52

10 0.000011265 0.000036159 -0.003127865 ---- ----

VERIFICHE A TAGLIO

Diam. Staffe: 10 mm
Passo staffe: 3.2 cm [Passo massimo di normativa = 25.0 cm]

Ver S = comb. verificata a taglio / N = comb. non verificata
Ved Taglio di progetto [kN] = proiezz. di Vx e Vy sulla normale all'asse neutro
Vcd Taglio compressione resistente [kN] lato conglomerato [formula (4.1.28)NTC]
Vwd Taglio resistente [kN] assorbito dalle staffe [(4.1.18) NTC]
d | z Altezza utile media pesata sezione ortogonale all'asse neutro | Braccio coppia interna [cm]
 Vengono prese nella media le strisce con almeno un estremo compresso.
 I pesi della media sono costituiti dalle stesse lunghezze delle strisce.
bw Larghezza media resistente a taglio [cm] misurate parallel. all'asse neutro
 E' data dal rapporto tra l'area delle sopradette strisce resistenti e Dmed.
Ctg Cotangente dell'angolo di inclinazione dei puntoni di conglomerato
Acw Coefficiente maggiorativo della resistenza a taglio per compressione
Ast Area staffe+legature strettam. necessarie a taglio per metro di pil.[cm²/m]
A.Eff Area staffe+legature efficaci nella direzione del taglio di combinaz.[cm²/m]
 Tra parentesi è indicata la quota dell'area relativa alle sole legature.
 L'area della legatura è ridotta col fattore L/d_max con L=lungh.legat.proietta-
 ta sulla direz. del taglio e d_max= massima altezza utile nella direz.del taglio.

N°Comb	Ver	Ved	Vcd	Vwd	d z	bw	Ctg	Acw	Ast	A.Eff
1	S	0.00	41401.12	9465.76287.4	254.3	310.8	1.000	1.114	0.0	95.1(0.0)
2	S	0.00	40965.35	9532.13288.4	256.1	307.9	1.000	1.105	0.0	95.1(0.0)
3	S	0.00	41255.43	9487.68287.9	254.8	309.3	1.000	1.113	0.0	95.1(0.0)
4	S	0.00	41255.43	9487.68287.9	254.8	309.3	1.000	1.113	0.0	95.1(0.0)
5	S	0.00	40965.35	9532.13288.4	256.1	307.9	1.000	1.105	0.0	95.1(0.0)
6	S	0.00	39767.73	9726.84290.4	261.2	301.9	1.000	1.073	0.0	95.2(0.0)
7	S	4909.28	39502.33	9761.14290.9	262.3	300.3	1.000	1.067	47.8	95.1(0.0)
8	S	4819.54	39523.55	9758.93290.9	262.1	300.3	1.000	1.068	47.0	95.1(0.0)
9	S	0.00	39523.55	9758.93290.9	262.1	300.3	1.000	1.068	0.0	95.1(0.0)
10	S	0.00	39502.33	9761.14290.9	262.3	300.3	1.000	1.067	0.0	95.1(0.0)

COMBINAZIONI RARE IN ESERCIZIO - MASSIME TENSIONI NORMALI ED APERTURA FESSURE (NTC/EC2)

Ver S = comb. verificata/ N = comb. non verificata
Sc max Massima tensione (positiva se di compressione) nel conglomerato [Mpa]
Xc max, Yc max Ascissa, Ordinata [cm] del punto corrisp. a Sc max (sistema rif. X,Y,O)
Sf min Minima tensione (negativa se di trazione) nell'acciaio [Mpa]
Xs min, Ys min Ascissa, Ordinata [cm] della barra corrisp. a Sf min (sistema rif. X,Y,O)
Ac eff. Area di calcestruzzo [cm²] in zona tesa considerata aderente alle barre
As eff. Area barre [cm²] in zona tesa considerate efficaci per l'apertura delle fessure

N°Comb	Ver	Sc max	Xc max	Yc max	Sf min	Xs min	Ys min	Ac eff.	As eff.
1	S	6.27	94.4	0.0	-74.0	-83.6	-136.4	8924	240.3
2	S	6.14	167.0	0.0	-77.6	-152.2	-49.4	9245	254.5
3	S	6.87	75.9	0.0	-90.4	-72.6	-142.6	9407	254.5
4	S	6.87	75.9	0.0	-90.4	-72.6	-142.6	9407	254.5
5	S	6.14	167.0	0.0	-77.6	-152.2	-49.4	9245	254.5

COMBINAZIONI RARE IN ESERCIZIO - APERTURA FESSURE [§ 7.3.4 EC2]

La sezione viene assunta sempre fessurata anche nel caso in cui la trazione minima del calcestruzzo sia inferiore a fctm

Ver. Esito della verifica
e1 Massima deformazione unitaria di trazione nel calcestruzzo (trazione -) valutata in sezione fessurata

RELAZIONE DI CALCOLO PILA

COMMESSA	LOTTO	CODIFICA	DOCUMENTO	REV.	FOGLIO
RS3E	50	D 09 CL	VI 06 05 001	A	42 di 52

e2	Minima deformazione unitaria di trazione nel calcestruzzo (trazione -) valutata in sezione fessurata
k1	= 0.8 per barre ad aderenza migliorata [eq.(7.11)EC2]
kt	= 0.4 per comb. quasi permanenti / = 0.6 per comb. frequenti [cfr. eq.(7.9)EC2]
k2	= 0.5 per flessione; $= (e1 + e2) / (2 * e1)$ per trazione eccentrica [eq.(7.13)EC2]
k3	= 3.400 Coeff. in eq.(7.11) come da annessi nazionali
k4	= 0.425 Coeff. in eq.(7.11) come da annessi nazionali
Ø	Diametro [mm] equivalente delle barre tese comprese nell'area efficace Ac eff [eq.(7.11)EC2]
Cf	Copriferro [mm] netto calcolato con riferimento alla barra più tesa
e sm - e cm	Differenza tra le deformazioni medie di acciaio e calcestruzzo [(7.8)EC2 e (C4.1.7)NTC] Tra parentesi: valore minimo = $0.6 S_{max} / E_s$ [(7.9)EC2 e (C4.1.8)NTC]
sr max	Massima distanza tra le fessure [mm]
wk	Apertura fessure in mm calcolata = $sr \max * (e_{sm} - e_{cm})$ [(7.8)EC2 e (C4.1.7)NTC]. Valore limite tra parentesi
Mx fess.	Componente momento di prima fessurazione intorno all'asse X [kNm]
My fess.	Componente momento di prima fessurazione intorno all'asse Y [kNm]

Comb.	Ver	e1	e2	k2	Ø	Cf	e sm - e cm	sr max	wk	Mx fess	My fess
1	S	-0.00041	0	0.500	30.0	135	0.00022 (0.00022)	648	0.144 (0.20)	21244.12	13599.86
2	S	-0.00043	0	0.500	30.0	135	0.00023 (0.00023)	644	0.150 (0.20)	7327.49	23403.20
3	S	-0.00050	0	0.500	30.0	135	0.00027 (0.00027)	648	0.176 (0.20)	21718.83	10448.81
4	S	-0.00050	0	0.500	30.0	135	0.00027 (0.00027)	648	0.176 (0.20)	21718.83	10448.81
5	S	-0.00043	0	0.500	30.0	135	0.00023 (0.00023)	644	0.150 (0.20)	7327.49	23403.20

COMBINAZIONI FREQUENTI IN ESERCIZIO - MASSIME TENSIONI NORMALI ED APERTURA FESSURE (NTC/EC2)

N°Comb	Ver	Sc max	Xc max	Yc max	Sf min	Xs min	Ys min	Ac eff.	As eff.
1	S	4.19	118.3	0.0	-28.4	-103.9	-121.7	5922	183.8
2	S	4.80	157.7	0.0	-41.8	-142.6	-72.6	7388	212.1
3	S	4.54	96.3	0.0	-36.3	-83.6	-136.4	6951	205.0
4	S	4.54	96.3	0.0	-36.3	-83.6	-136.4	6951	205.0
5	S	4.92	165.5	0.0	-49.4	-152.2	-49.4	8142	226.2

COMBINAZIONI FREQUENTI IN ESERCIZIO - APERTURA FESSURE [§ 7.3.4 EC2]

Comb.	Ver	e1	e2	k2	Ø	Cf	e sm - e cm	sr max	wk	Mx fess	My fess
1	S	-0.00016	0	0.500	30.0	135	0.00009 (0.00009)	623	0.053 (0.20)	23735.00	21757.08
2	S	-0.00023	0	0.500	30.0	135	0.00013 (0.00013)	637	0.080 (0.20)	12460.88	25914.28
3	S	-0.00021	0	0.500	30.0	135	0.00011 (0.00011)	632	0.069 (0.20)	24927.68	16432.90
4	S	-0.00021	0	0.500	30.0	135	0.00011 (0.00011)	632	0.069 (0.20)	24927.68	16432.90
5	S	-0.00027	0	0.500	30.0	135	0.00015 (0.00015)	643	0.095 (0.20)	8777.72	25591.42

COMBINAZIONI QUASI PERMANENTI IN ESERCIZIO - MASSIME TENSIONI NORMALI ED APERTURA FESSURE (NTC/EC2)

N°Comb	Ver	Sc max	Xc max	Yc max	Sf min	Xs min	Ys min	Ac eff.	As eff.
1	S	1.61	123.7	0.0	6.8	-113.1	-113.1	----	----

COMBINAZIONI QUASI PERMANENTI IN ESERCIZIO - APERTURA FESSURE [§ 7.3.4 EC2]

Comb.	Ver	e1	e2	k2	Ø	Cf	e sm - e cm	sr max	wk	Mx fess	My fess
1	S	0.00000	0.00000	----	----	----	----	----	0.000 (0.20)	0.00	0.00

4.9.2 Zattera di fondazione

Per la valutazione delle sollecitazioni nel plinto di fondazione, è necessario valutare preventivamente le sollecitazioni agenti nei pali di fondazione. Tali sollecitazioni sono state valutate mediante una ripartizione rigida delle sollecitazioni agenti a base plinto.

Si vedano i paragrafi precedenti da cui risulta :

$$N_{\max} = 6082 \text{ kN (CC. SLU)}$$

$$N_{\max} = 7289 \text{ kN (CC. SLV } q=1.36)$$

$$T_{\max} = 738 \text{ kN (CC. SLV } q=1.36)$$

Il plinto fondazione è stato verificato ipotizzando un meccanismo di tirante puntone. Si riporta di seguito la verifica. La larghezza di diffusione è stata valutata in corrispondenza del filo esterno della pila, mediante una diffusione a 45° a partire dal piano medio del palo (vedi figura seguente), mentre l'altezza della biella compressa è stata valutata pari a 0.2 d_p (con d_p altezza utile della sezione del plinto).

La verifica è stata eseguita in corrispondenza del palo più sollecitato.

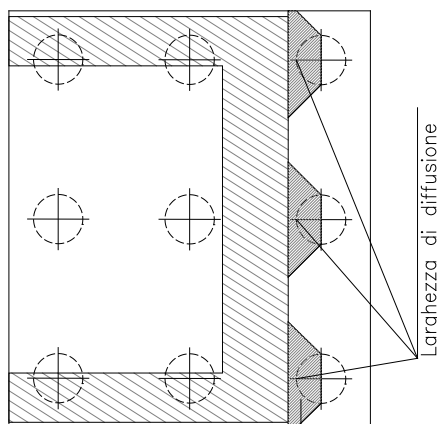


Figura 1 – Diffusione delle azioni dal palo alla pila

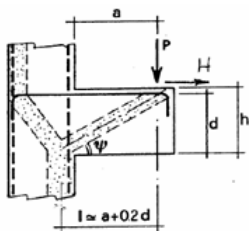
Di seguito si riportano i risultati delle verifiche strutturali del plinto di fondazione, condotte con riferimento al metodo usualmente utilizzato per la verifica delle mensole tozze, ovvero il metodo del tirante-puntone, di cui nel seguito si riporta lo schema e di verifica generale e relative formulazioni proposte a riguardo al C4.1.2.1.5 dalla Circolare Ministeriale n° 617 del 02-02-09.

RELAZIONE DI CALCOLO PILA

COMMESSA	LOTTO	CODIFICA	DOCUMENTO	REV.	FOGLIO
RS3E	50	D 09 CL	VI 06 05 001	A	44 di 52

VERIFICA MENSOLE TOZZE - MECCANISMO TIRANTE PUNTONE secondo Circ 617-09/ C4.1.2.1.5

VERIFICA - MECCANISMO TIRANTE PUNTONE.



P,H : Carichi Esterni di Progetto (P_{Fn}, H_{Fn})

Pr : Portanza mensola in termini di resistenza dell'armatura metallica

$$P_R = P_{Rs} = (A_s f_{yd} - H_{Ed}) \frac{1}{\lambda} \quad \lambda = \text{ctg} \psi \geq 1 / (0,9d)$$

Pr : Portanza mensola in termini di resistenza della Biella compressa

$$P_{Rc} = 0,4 b d f_{cd} \frac{c}{1 + \lambda^2} \geq P_{Rs}$$

CONDIZIONI DI VERIFICA

- 1 $P_R \geq P_{Ed}$
- 2 $P_{Rc} \geq P_{Rs}$

RELAZIONE DI CALCOLO PILA

COMMESSA	LOTTO	CODIFICA	DOCUMENTO	REV.	FOGLIO
RS3E	50	D 09 CL	VI 06 05 001	A	45 di 52

Dati di progetto

$b(m) =$	4.20	m	dimensione trasversale verifica
$P_{Ed} (KN) =$	7289.00	KN	Carico complessivo VERTICALE sulla fascia di dimensione b
$H_{Ed} (KN) =$	738.00	KN	Carico complessivo ORIZZONTALE sulla fascia di dimensione b
$a(m) =$	3.40	m	distanza P da incastro
$h(m) =$	3.00	m	spessore mensola
$\delta(m) =$	0.10	m	copriferro riferito al baricentro delle armature compressive in trazione
$d(m) =$	2.90	m	altezza utile
$l(m) =$	3.98	m	$a+0,2d$
$\lambda =$	1.52		$\lambda = ctg\psi \approx l/(0,9d)$

Tipo di mensola (Valutazione coefficiente c)

sblazi di piastre (no staffatura)

$c(m) =$ **1.00**

Caratteristiche Materiali

$f_{cd} =$	14.1	MPa	Calcestruzzo
$f_{yd} =$	391.0	MPa	Acciaio

Caratteristiche Armature di Progetto

Registro tipo	R1						
$n^{\circ} R1 =$	1	$\phi 1(mm) =$	24.0	$p1(cm) =$	10.0	$\theta 1^{\circ} =$	0.0
$A_{\phi i} (mm^2) =$	452.39	$nb\ tot\ 1 =$	42.0	$A_{\phi\ TOT} (mm^2) =$	19000.34	$A_{\phi\ CAL}(mm^2) =$	19000.34
Registro tipo	R2						
$n^{\circ} R2 =$	1	$\phi 2(mm) =$	24.0	$p2(cm) =$	10.0	$\theta 2^{\circ} =$	0.0
$A_{\phi i} (mm^2) =$	452.39	$nb\ tot\ 2 =$	42.0	$A_{\phi\ TOT} (mm^2) =$	19000.34	$A_{\phi\ CAL}(mm^2) =$	19000.34
Registro tipo	R3						
$n^{\circ} R3 =$	0	$\phi 3(mm) =$	26.0	$p3(cm) =$	10.0	$\theta 3^{\circ} =$	0.0
$A_{\phi i} (mm^2) =$	530.93	$nb\ tot\ 3 =$	0.0	$A_{\phi\ TOT} (mm^2) =$	0.00	$A_{\phi\ CAL}(mm^2) =$	0.00

Verifiche di resistenza

$\Psi =$ rad = °

$P_{RS} =$ KN

$P_{RC} =$ KN

4.9.3 Palo di fondazione $L=35.0m$

Viene verificata la sezione di incastro con la platea di fondazione.

Il momento flettente agente in testa palo viene derivato dal taglio in testa palo nell'ipotesi di elasticità lineare sia per il palo che per il terreno. Risulta

$$M = T * \alpha$$

$$\alpha = 2.5 \text{ (vedi relazione geotecnica)}$$

$$N_{\max} = 8864 \text{ kN} \quad T = 926 \text{ kN} \quad M = 926 * 2.5 = 2295 \text{ kNm}$$

$$N_{\min} = -4344 \text{ kN} \quad T = 926 \text{ kN} \quad M = 926 * 2.5 = 2295 \text{ kNm}$$

$$N = -4344 \text{ kN} \quad T = 926 \text{ kN} \quad M_{\max} = 926 * 2.5 = 2295 \text{ kNm}$$

Caratteristiche della sezione:

Sezione circolare $\varnothing 120 \text{ cm}$

$$A_s = 26+26 \phi 26 \quad \text{staffe } \phi 14/15$$

La lunghezza del palo è pari a $L = 35.00m$

CARATTERISTICHE DI RESISTENZA DEI MATERIALI IMPIEGATI

CALCESTRUZZO -	Classe:	C25/30	
	Resis. compr. di progetto fcd:	14.160	MPa
	Resis. compr. ridotta fcd':	7.080	MPa
	Def.unit. max resistenza ec2:	0.0020	
	Def.unit. ultima ecu:	0.0035	
	Diagramma tensione-deformaz.:	Parabola-Rettangolo	
	Modulo Elastico Normale Ec:	31475.0	MPa
	Resis. media a trazione fctm:	2.560	MPa
	Coeff. Omogen. S.L.E.:	15.00	
	Coeff. Omogen. S.L.E.:	15.00	
	Sc limite S.L.E. comb. Frequenti:	137.50	daN/cm ²
	Ap.Fessure limite S.L.E. comb. Frequenti:	0.200	mm
	ACCIAIO -	Tipo:	B450C
Resist. caratt. snervam. fyk:		450.00	MPa
Resist. caratt. rottura ftk:		450.00	MPa
Resist. snerv. di progetto fyd:		391.30	MPa
Resist. ultima di progetto ftd:		391.30	MPa
Deform. ultima di progetto Epu:		0.068	
Modulo Elastico Ef		2000000	daN/cm ²
Diagramma tensione-deformaz.:		Bilineare finito	
Coeff. Aderenza istantaneo $\beta 1 * \beta 2$:		1.00	
Coeff. Aderenza differito $\beta 1 * \beta 2$:		0.50	
Sf limite S.L.E. Comb. Rare:	337.50	MPa	

CARATTERISTICHE DOMINIO CONGLOMERATO



DIRETTRICE FERROVIARIA MESSINA - CATANIA - PALERMO
NUOVO COLLEGAMENTO PALERMO - CATANIA
PROGETTO DEFINITIVO
VI06 - Viadotto ferroviario a Singolo Binario

RELAZIONE DI CALCOLO PILA

COMMESSA	LOTTO	CODIFICA	DOCUMENTO	REV.	FOGLIO
RS3E	50	D 09 CL	VI 06 05 001	A	47 di 52

Forma del Dominio: Circolare
 Classe Conglomerato: C25/30

Raggio circ.: 60.0 cm
 X centro circ.: 0.0 cm
 Y centro circ.: 0.0 cm

DATI GENERAZIONI CIRCOLARI DI BARRE

N°Gen. Numero assegnato alla singola generazione circolare di barre
 Xcentro Ascissa [cm] del centro della circonferenza lungo cui sono disposte le barre generate
 Ycentro Ordinata [cm] del centro della circonferenza lungo cui sono disposte le barre generate
 Raggio Raggio [cm] della circonferenza lungo cui sono disposte le barre generate
 N°Barre Numero di barre generate equidist. disposte lungo la circonferenza
 Ø Diametro [mm] della singola barra generata

N°Gen.	Xcentro	Ycentro	Raggio	N°Barre	Ø
1	0.0	0.0	50.0	26	26
2	0.0	0.0	45.0	26	26

ARMATURE A TAGLIO

Diametro staffe: 14 mm
 Passo staffe: 15.0 cm
 Staffe: Una sola staffa chiusa perimetrale

CALCOLO DI RESISTENZA - SFORZI PER OGNI COMBINAZIONE ASSEGNATA

N Sforzo normale [kN] applicato nel Baric. (+ se di compressione)
 Mx Momento flettente [kNm] intorno all'asse x princ. d'inerzia con verso positivo se tale da comprimere il lembo sup. della sez.
 My Momento flettente [kNm] intorno all'asse y princ. d'inerzia con verso positivo se tale da comprimere il lembo destro della sez.
 Vy Componente del Taglio [kN] parallela all'asse princ.d'inerzia y
 Vx Componente del Taglio [kN] parallela all'asse princ.d'inerzia x

N°Comb.	N	Mx	My	Vy	Vx
1	6082.00	643.00	0.00	257.00	0.00
2	-274.00	643.00	0.00	257.00	0.00
3	8864.00	2295.00	0.00	926.00	0.00
4	-4344.00	2295.00	0.00	926.00	0.00

COMB. RARE (S.L.E.) - SFORZI PER OGNI COMBINAZIONE ASSEGNATA

N Sforzo normale [kN] applicato nel Baricentro (+ se di compressione)
 Mx Momento flettente [kNm] intorno all'asse x princ. d'inerzia (tra parentesi Mom.Fessurazione) con verso positivo se tale da comprimere il lembo superiore della sezione
 My Momento flettente [kNm] intorno all'asse y princ. d'inerzia (tra parentesi Mom.Fessurazione) con verso positivo se tale da comprimere il lembo destro della sezione

N°Comb.	N	Mx	My
1	4302.00	445.00	0.00
2	840.00	445.00	0.00



DIRETTRICE FERROVIARIA MESSINA - CATANIA - PALERMO
NUOVO COLLEGAMENTO PALERMO - CATANIA
PROGETTO DEFINITIVO
VI06 - Viadotto ferroviario a Singolo Binario

RELAZIONE DI CALCOLO PILA

COMMESSA	LOTTO	CODIFICA	DOCUMENTO	REV.	FOGLIO
RS3E	50	D 09 CL	VI 06 05 001	A	48 di 52

COMB. FREQUENTI (S.L.E.) - SFORZI PER OGNI COMBINAZIONE ASSEGNATA

N Sforzo normale [kN] applicato nel Baricentro (+ se di compressione)
Mx Momento flettente [kNm] intorno all'asse x princ. d'inerzia (tra parentesi Mom.Fessurazione) con verso positivo se tale da comprimere il lembo superiore della sezione
My Momento flettente [kNm] intorno all'asse y princ. d'inerzia (tra parentesi Mom.Fessurazione) con verso positivo se tale da comprimere il lembo destro della sezione

N°Comb.	N	Mx	My
1	3705.00	323.00 (4840.59)	0.00 (0.00)
2	1253.00	323.00 (1677.55)	0.00 (0.00)

RISULTATI DEL CALCOLO

Sezione verificata per tutte le combinazioni assegnate

Copriferro netto minimo barre longitudinali: 8.7 cm
Interferro netto minimo barre longitudinali: 2.4 cm
Copriferro netto minimo staffe: 7.3 cm

VERIFICHE DI RESISTENZA IN PRESSO-TENSO FLESSIONE ALLO STATO LIMITE ULTIMO

Ver S = combinazione verificata / N = combin. non verificata
N Sforzo normale assegnato [kN] nel baricentro B sezione cls.(positivo se di compressione)
Mx Componente del momento assegnato [kNm] riferito all'asse x princ. d'inerzia
My Componente del momento assegnato [kNm] riferito all'asse y princ. d'inerzia
N Res Sforzo normale resistente [kN] nel baricentro B sezione cls.(positivo se di compress.)
Mx Res Momento flettente resistente [kNm] riferito all'asse x princ. d'inerzia
My Res Momento flettente resistente [kNm] riferito all'asse y princ. d'inerzia
Mis.Sic. Misura sicurezza = rapporto vettoriale tra (N r,Mx Res,My Res) e (N,Mx,My)
Verifica positiva se tale rapporto risulta >=1.000
As Totale Area totale barre longitudinali [cm²]. [Tra parentesi il valore minimo di normativa]

N°Comb	Ver	N	Mx	My	N Res	Mx Res	My Res	Mis.Sic.	As Totale
1	S	6082.00	643.00	0.00	6081.72	4848.58	0.00	7.54	276.1(33.9)
2	S	-274.00	643.00	0.00	-273.85	4051.59	0.00	6.30	276.1(33.9)
3	S	8864.00	2295.00	0.00	8864.27	4697.04	0.00	2.05	276.1(33.9)
4	S	-4344.00	2295.00	0.00	-4344.17	2823.33	0.00	1.23	276.1(33.9)

METODO AGLI STATI LIMITE ULTIMI - DEFORMAZIONI UNITARIE ALLO STATO ULTIMO

ec max Deform. unit. massima del conglomerato a compressione
Xc max Deform. unit. massima del conglomerato a compressione
Ascissa in cm della fibra corrisp. a ec max (sistema rif. X,Y,O sez.)
Yc max Ordinata in cm della fibra corrisp. a ec max (sistema rif. X,Y,O sez.)
es min Deform. unit. minima nell'acciaio (negativa se di trazione)
Xs min Ascissa in cm della barra corrisp. a es min (sistema rif. X,Y,O sez.)
Ys min Ordinata in cm della barra corrisp. a es min (sistema rif. X,Y,O sez.)
es max Deform. unit. massima nell'acciaio (positiva se di compress.)
Xs max Ascissa in cm della barra corrisp. a es max (sistema rif. X,Y,O sez.)
Ys max Ordinata in cm della barra corrisp. a es max (sistema rif. X,Y,O sez.)

N°Comb	ec max	Xc max	Yc max	es min	Xs min	Ys min	es max	Xs max	Ys max
1	0.00350	0.0	60.0	0.00292	0.0	50.0	-0.00292	0.0	-50.0
2	0.00350	0.0	60.0	0.00258	0.0	50.0	-0.00666	0.0	-50.0
3	0.00350	0.0	60.0	0.00299	0.0	50.0	-0.00209	0.0	-50.0
4	0.00350	0.0	60.0	0.00209	0.0	50.0	-0.01204	0.0	-50.0

RELAZIONE DI CALCOLO PILA

COMMESSA	LOTTO	CODIFICA	DOCUMENTO	REV.	FOGLIO
RS3E	50	D 09 CL	VI 06 05 001	A	49 di 52

POSIZIONE ASSE NEUTRO PER OGNI COMB. DI RESISTENZA

a, b, c Coeff. a, b, c nell'eq. dell'asse neutro $aX+bY+c=0$ nel rif. X,Y,O gen.
x/d Rapp. di duttilità (travi e solette) § 4.1.2.1.2.1 NTC; deve essere < 0.45
C.Rid. Coeff. di riduz. momenti per sola flessione in travi continue

N°Comb	a	b	c	x/d	C.Rid.
1	0.000000000	0.000058391	-0.000003481	----	----
2	0.000000000	0.000092407	-0.002044436	----	----
3	0.000000000	0.000050833	0.000450018	----	----
4	0.000000000	0.000141279	-0.004976731	----	----

VERIFICHE A TAGLIO

Diam. Staffe: 14 mm
Passo staffe: 15.0 cm [Passo massimo di normativa = 25.0 cm]

Ver S = comb. verificata a taglio / N = comb. non verificata
Ved Taglio di progetto [kN] = proiez. di V_x e V_y sulla normale all'asse neutro
Vcd Taglio compressione resistente [kN] lato conglomerato [formula (4.1.28)NTC]
Vwd Taglio resistente [kN] assorbito dalle staffe [(4.1.18) NTC]
d | z Altezza utile media pesata sezione ortogonale all'asse neutro | Braccio coppia interna [cm]
 Vengono prese nella media le strisce con almeno un estremo compresso.
 I pesi della media sono costituiti dalle stesse lunghezze delle strisce.
bw Larghezza media resistente a taglio [cm] misurate parallel. all'asse neutro
 E' data dal rapporto tra l'area delle sopradette strisce resistenti e Dmed.
Ctg Cotangente dell'angolo di inclinazione dei puntoni di conglomerato
Acw Coefficiente maggiorativo della resistenza a taglio per compressione
Ast Area staffe+legature strettam. necessarie a taglio per metro di pil.[cm²/m]
A.Eff Area staffe+legature efficaci nella direzione del taglio di combinaz.[cm²/m]
 Tra parentesi è indicata la quota dell'area relativa alle sole legature.
 L'area della legatura è ridotta col fattore L/d_{max} con $L=lungh.legat.proietta-$
 sulla direz. del taglio e d_{max} = massima altezza utile nella direz.del taglio.

N°Comb	Ver	Ved	Vcd	Vwd	d z	bw	Ctg	Acw	Ast	A.Eff
1	S	257.00	2396.45	2762.70	91.8 72.4	108.4	2.500	1.250	3.6	39.0(0.0)
2	S	257.00	2132.35	3111.00	93.3 81.5	107.1	2.500	1.000	3.2	39.0(0.0)
3	S	926.00	2024.11	2641.19	92.1 69.2	107.3	2.500	1.116	13.7	39.0(0.0)
4	S	926.00	2104.49	3413.42	99.5 89.5	96.3	2.500	1.000	10.6	39.0(0.0)

COMBINAZIONI RARE IN ESERCIZIO - MASSIME TENSIONI NORMALI ED APERTURA FESSURE (NTC/EC2)

Ver S = comb. verificata/ N = comb. non verificata
Sc max Massima tensione (positiva se di compressione) nel conglomerato [Mpa]
Xc max, Yc max Ascissa, Ordinata [cm] del punto corrisp. a Sc max (sistema rif. X,Y,O)
Sf min Minima tensione (negativa se di trazione) nell'acciaio [Mpa]
Xs min, Ys min Ascissa, Ordinata [cm] della barra corrisp. a Sf min (sistema rif. X,Y,O)
Ac eff. Area di calcestruzzo [cm²] in zona tesa considerata aderente alle barre
As eff. Area barre [cm²] in zona tesa considerate efficaci per l'apertura delle fessure

N°Comb	Ver	Sc max	Xc max	Yc max	Sf min	Xs min	Ys min	Ac eff.	As eff.
1	S	4.58	0.0	0.0	19.3	0.0	-50.0	----	----
2	S	2.76	0.0	0.0	-28.2	0.0	-50.0	1062	42.5

COMBINAZIONI RARE IN ESERCIZIO - APERTURA FESSURE [§ 7.3.4 EC2]

RELAZIONE DI CALCOLO PILA

COMMESSA	LOTTO	CODIFICA	DOCUMENTO	REV.	FOGLIO
RS3E	50	D 09 CL	VI 06 05 001	A	50 di 52

La sezione viene assunta sempre fessurata anche nel caso in cui la trazione minima del calcestruzzo sia inferiore a f_{ctm}

Ver.	Esito della verifica
e1	Massima deformazione unitaria di trazione nel calcestruzzo (trazione -) valutata in sezione fessurata
e2	Minima deformazione unitaria di trazione nel calcestruzzo (trazione -) valutata in sezione fessurata
k1	= 0.8 per barre ad aderenza migliorata [eq.(7.11)EC2]
k2	= 0.4 per comb. quasi permanenti / = 0.6 per comb. frequenti [cfr. eq.(7.9)EC2]
k3	= 0.5 per flessione; $= (e1 + e2) / (2 * e1)$ per trazione eccentrica [eq.(7.13)EC2]
k4	= 3.400 Coeff. in eq.(7.11) come da annessi nazionali
Ø	= 0.425 Coeff. in eq.(7.11) come da annessi nazionali
Cf	Diametro [mm] equivalente delle barre tese comprese nell'area efficace $A_{c\ eff}$ [eq.(7.11)EC2]
e sm - e cm	Copriferro [mm] netto calcolato con riferimento alla barra più tesa Differenza tra le deformazioni medie di acciaio e calcestruzzo [(7.8)EC2 e (C4.1.7)NTC] Tra parentesi: valore minimo = $0.6 S_{max} / E_s$ [(7.9)EC2 e (C4.1.8)NTC]
sr max	Massima distanza tra le fessure [mm]
wk	Apertura fessure in mm calcolata = $sr\ max * (e_{sm} - e_{cm})$ [(7.8)EC2 e (C4.1.7)NTC]. Valore limite tra parentesi
Mx fess.	Componente momento di prima fessurazione intorno all'asse X [kNm]
My fess.	Componente momento di prima fessurazione intorno all'asse Y [kNm]

Comb.	Ver	e1	e2	k2	Ø	Cf	e sm - e cm	sr max	wk	Mx fess	My fess
1	S	-0.00005	0	----	----	----	----	----	0.000 (0.20)	4772.96	0.00
2	S	-0.00017	0	0.500	26.0	87	0.00008 (0.00008)	406	0.034 (0.20)	909.41	0.00

COMBINAZIONI FREQUENTI IN ESERCIZIO - MASSIME TENSIONI NORMALI ED APERTURA FESSURE (NTC/EC2)

N°Comb	Ver	Sc max	Xc max	Yc max	Sf min	Xs min	Ys min	Ac eff.	As eff.
1	S	3.70	0.0	0.0	19.7	0.0	-50.0	----	----
2	S	2.18	0.0	0.0	-5.7	0.0	-50.0	377	5.3

COMBINAZIONI FREQUENTI IN ESERCIZIO - APERTURA FESSURE [§ 7.3.4 EC2]

Comb.	Ver	e1	e2	k2	Ø	Cf	e sm - e cm	sr max	wk	Mx fess	My fess
1	S	-0.00005	0	----	----	----	----	----	0.000 (0.20)	4840.59	0.00
2	S	-0.00005	0	0.500	26.0	87	0.00002 (0.00002)	610	0.010 (0.20)	1677.55	0.00

5 SINTESI DELLE VERIFICHE GEOTECNICHE

Nel presente paragrafo si riporta una sintesi in forma tabellare delle sollecitazioni massime sui pali e delle verifiche geotecniche per il viadotto in oggetto, con relativi coefficienti di sicurezza.

Per maggiori dettagli si rimanda alle specifiche relazioni delle fondazioni.

PALI					SOLLECITAZIONI									
viadot to	spalla pila	D[m m]	npali[-]	Lpalo [m]	SFORZO NORMALE SLU/SLV		SFORZO NORMALE SLE		TAGLI E MOMENTI					
					Nmax,c [kN]	Nmin[k N]	Nmax, SLE,rara [kN]	Nmax, SLE,FREQ [kN]	senza scalzamento			con scalzamento		
									Tmax [kN]	alfa [m]	Mmax	Tmax [kN]	alfa [m]	Mmax
VI06	spalla 1	1500	9	32.0	7989		5610		1673	3.1	5220	-	-	-
VI06	spalla 2	1500	9	27.0	6384		4534		826	3.1	2577	-	-	-
VI06	Pila 9	1200	9	35.0	7289	-2753	4302		926	2.5	2295	-	-	-
VI06	Pila 10	1500	12	30.0	7769	-3365	5755		1195	3.1	3737	-	-	-
VI06	Pila 13	1200	9	38.0	8203	-3280	4660		967	2.5	2396	-	-	-
VI06	Pila 14	1500	9	32.0	8701	-2390	5547		1257	3.1	3931	-	-	-
VI06	Pila 22	1500	9	35.0	10491	-2496	6686	5763	1295	3.1	4049	170	3.1	531. 59
VI06	Pila 24	1500	12	30.0	8871	-1526	6871	5820	1178	3.1	3684	160	3.1	500. 32

VERIFICHE GEOTECNICHE						
Carico limite orizzontale		Capacità portante palo				
		COMPRESSIONE			TRAZIONE	
Hd[kN]	FS	Qd [kN]	Qd [kN], SCALZ	FS	Qd,trazione [kN]	
1768.7	1.06	8575	-	1.07	-	-
882.7	1.07	6795	-	1.06	-	-
1070.3	1.16	7810	-	1.07	6407	2.33
1228.9	1.03	8420	-	1.08	6649	1.98
1070.3	1.11	8653	-	1.05	7137	2.18
1391.4	1.11	9070	-	1.04	7124	2.98
1391.4	1.07	11108	10911	1.04	8739	3.50
1391.4	1.18	9299	9102	1.03	7193	4.71



DIRETTRICE FERROVIARIA MESSINA - CATANIA - PALERMO
NUOVO COLLEGAMENTO PALERMO - CATANIA
PROGETTO DEFINITIVO
VI06 - Viadotto ferroviario a Singolo Binario

RELAZIONE DI CALCOLO PILA

COMMESSA	LOTTO	CODIFICA	DOCUMENTO	REV.	FOGLIO
RS3E	50	D 09 CL	VI 06 05 001	A	52 di 52